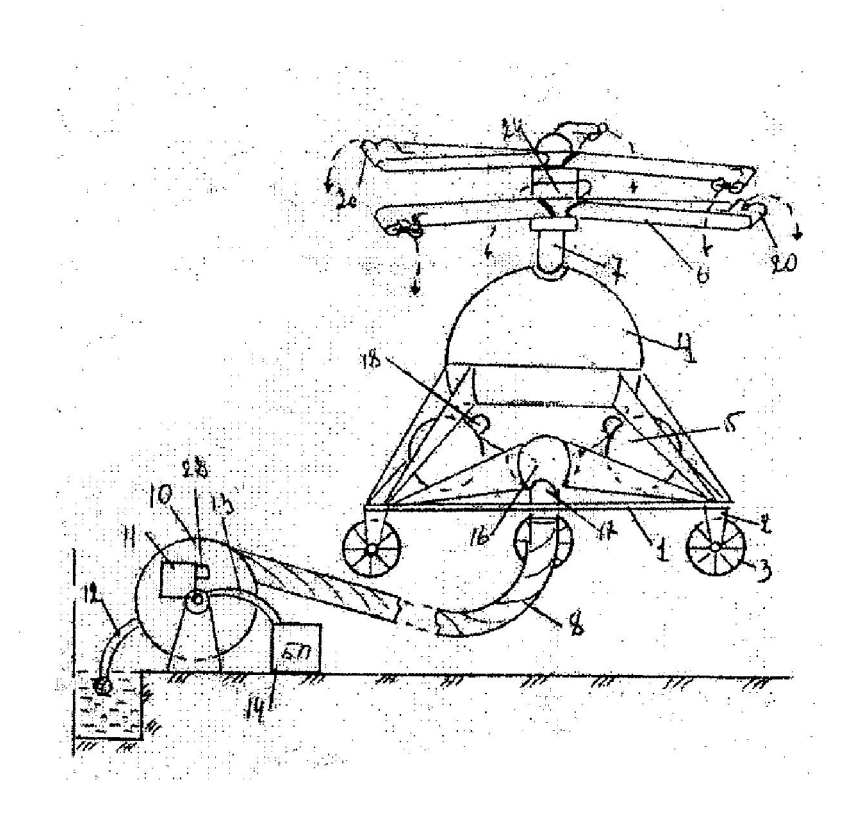
П.А. ВЕРТИНСКИЙ

ЭЛЕКТРОГИДРОДИНАМИЧЕСКИЕ ЗАДАЧИ ГИДРАВЛИКИ

Реферативный сборник

выпуск 3



п.а. вертинский

ЭЛЕКТРОГИДРОДИНАМИЧЕСКИЕ ЗАДАЧИ ГИДРАВЛИКИ

Реферативный сборник

Выпуск 3

УДК **532** ББК **3**0.123 В **3**5

Вертинский П.А.
В 35 ЭЛЕКТРОГИДРОДИНАМИЧЕСКИЕ ЗАДАЧИ ГИДРАВЛИКИ реферативный сборник. – Вып. 3. - Иркутск: Изд-во ИрГТУ, 2008. - 86 с.

В настоящем издании собраны статьи авгора, опубликованные в течение последних десяти лет в различных сборниках (труды Иркутской государственной сельско-хозяйственной академии, материалы региональной научной конференции «Интеллектуальные и материальные ресурсы Сибири» - «Сибресурс», Вестник Иркутского регионального отделения АН ВШ РФ, Материалы Всероссийского научного семинара ИВМ СО РАН «Моделирование Неравновесных Систем» и другие региональные издания), отличительная особенность которых - малые тиражи предопределяла опубликованным работам практическую недоступность ДЛЯ широких специалистов. С целью расширить круг специалистов, преимущественно физико-технических профилей, издаётся настоящий сборник тремя тематическими выпусками:

Выпуск 1. Проблемы аксиоматики теории размерностей в топологии

Выпуск 2. Электромеханические задачи магнитодинамики

Выпуск 3. Электрогидродинамические задачи гидравлики.

Автор надеется, что сборники будут полезными не только инженерам, но также аспирантам и научным сотрудникам.

Отпечатано с матриц, предоставленных автором

01. Повышение эффективности электрогидравлических систем с использованием кумулятивного электро - гидравлического эффекта

1. Краткое введение.

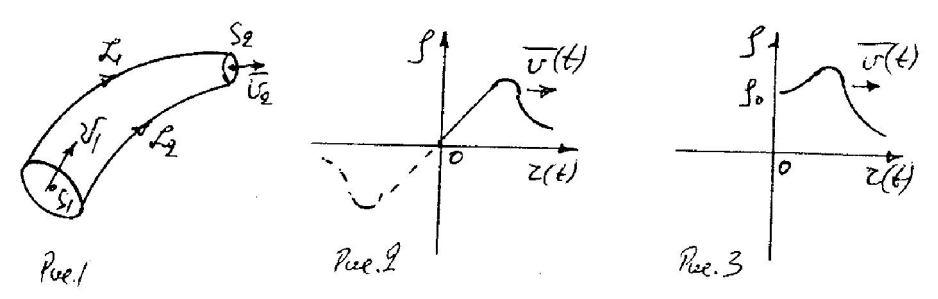
 \mathbf{C} начала возникновения гидродинамики процессы и образование распространения волн в среде потоков среды изучаются и исследуются относительно самостоятельно/1/ того, классическая гидродинамика теоретически обосновала вывод о невозможности переноса вещества среды в потоке волн данной экспериментальные измерения поэтому даже прямые оставляют в стороне вопрос о проверке или уточнении такого положения, заранее не предполагая обнаружить какие-либо потоки среды в потоках волн в данной среде /2/.

образом, согласно современным представлениям гидродинамической теории суперпозиция ударных волн в среде не вызывает образования потоков данной среды, сопровождаясь лишь передачей энергии волн без перемещения вещества в среде /3,4/. исторический период после фундаментальных трактатов Д. «Гидродинамика» / 1738 г./ и Л. Эйлера «Общие принципы жидкости» /1755 г./ в гидродинамике сформировалась система уравнений движения сплошной среды (жидкости или газа), которая рассматривает среду изотропной и гиротропной /3/:

$$\frac{d\overline{v}}{dt} = \overline{F} - \frac{1}{\rho} \operatorname{grad} \rho \quad (1), \quad \operatorname{div} \overline{v} = 0 \quad (2), \quad \frac{d\rho}{dt} = 0 \quad (3)$$

Для практических расчетов установившихся движений несжимаемой жидкости на основе уравнений (1),(2) и (3) широко используется первый интеграл Бернулли, частное решение которого для трубки тока как на рис.1 можно записать: $\frac{v^2}{2} + \frac{p}{\rho} + \text{gh} = \text{Const}$ (4)

По существу уравнение (4) выражает собой закон сохранения энергии в трубке тока среды, что совершенно справедливо в условиях невмешательства извне в энергетический баланс данной трубки тока. Именно поэтому Б. Риман еще в 1860 году в своем мемуаре амплитуды" /4/, распространении плоских волн конечной возмущений в среде, распространение рассматривая выводу об образовании ударных волн в баротропных средах, так как: $\mathbf{x} = \mathbf{tc}(\rho) + \varphi(\rho)$ (5). В соответствии с выводом (5) распространение возмущений плотности среды можно представить графически как на рис.2, но с учетом второго начала термодинамики волны разрежения невозможны /1/, поэтому реально выполняется лишь правая графика, то есть зависимость как на рис.3.



Такие возмущения в среде называются акустическими, описывающая теория является линейной, не позволяя рассматривать импульсные явления с образованием в среде газо - вакуумных полостей, когда жидкость уже нельзя рассматривать сплошной несжимаемой средой /1/,/3/. Рассматривая такие импульсные явления в среде с позиций газовой динамики, на основе законов и энергии, мы придем к известным сохранения массы, импульса соотношениям Ренкина – Гюгонио /1/,/3/, которые случая в неподвижной системе координат могут быть представлены:

$$\rho_1 \left(\mathbf{D} - \mathbf{U}_1 \right) = \rho_2 \left(\mathbf{D} - \mathbf{U}_2 \right) \tag{6}$$

$$P_1 + \rho_1 U_1 (D - U_1) = P_2 + \rho_2 U_2 (D - U_2)$$
 (7)

$$\mathbf{e_1} - \mathbf{e_2} = \frac{1}{2} (\mathbf{P_1} - \mathbf{P_2}) (\frac{1}{\rho_1} - \frac{1}{\rho_2})$$
 (8)

где: D - скорость ударной волны, U - скорость среды,

 ρ , P , е - соответственно плотность, давление и удельная внутренняя энергия жидкости. Здесь индексами 1 и 2 обозначены соответственно состояния среды по обе стороны поверхности разрыва. В частном случае для покоящейся перед ударной волной среды , когда $U_1 = 0$ (9) имеем следствия: $\rho_1 D = \rho_2 (D_1 - U_2)$ (10)

$$P_1 = P_2 + \rho_2 U_2 (D - U_2)$$
 (11) $\mu e_1 - e_2 = \frac{1}{2} (P_1 - P_2) (\frac{1}{\rho_1} - \frac{1}{\rho_2})$ (12)

Отсюда следует вывод о том, что при условии образовании ударной волны, то есть когда $D \neq 0$ (13), то имеет место $U_2 > 0$ (14).

Таким образом, импульсная ударная волна порождает движение сплошной среды во все стороны, то есть взрыв, который может быть направлен, например, неоднородностью среды или специальными техническими приспособлениями (отражателями, экранами и т.п.).

2. Возникновение задачи.

Рассматривая интерференцию волн в баротропных средах линейной гидродинамики, позиций В полном соответствии C принципом суперпозиции мы с необходимостью приходим к выводу о невозможности образования направленных потоков данной среды в этой среде. При этом учитывается системы с помощью волн обстоятельство по уравнению (4),

из которого следует отсутствие источника энергии в области среды , перекрываемой потоками волн в данной среде.

Рассматривая импульсные с позиций **ударные** волны газовой динамики, мы в лучшем случае приходим к возможности образования направленного выброса среды в различных направлениях системой единичных взрывов, которые не могут здесь непрерывных потоков рассматриваться в качестве данной среды, следствием (14) из соотношений что и подтверждается Ренкина -Гюгонио (6), (7),(8).

обнаружилось Вместе тем, как ЭТО В изучении электрогидравлического эффекта /5/, /6/ и др. с помощью последнего возможность техническими новая средствами подводить энергию в поток среды с установившимся движением, оказывая тем самым влияние на энергетический баланс заданной Более того, получили практическое области среды. применение различные устройства в виде сосудов, полостей, отражающих поверхностей и т.п., с помощью которых формируются кумулятивные струи жидкости под действием ЭГЭ /7/,/8/ и др.

В указанных работах /5/,/6/,/7/,/8/ и др. оставлен открытым вопрос о наложении колебаний в среде от нескольких ЭГЭ, в частности вопрос о результирующем колебании двух последовательных во времени ЭГЭ .Данное обстоятельство объясняется известными экспериментальными трудностями в осуществлении ЭГЭ /9/ и сложным характером зависимости плотности среды в области ЭГЭ не только от давления, но и от других параметров /2/.

3. Фронт ударной волны кумулятивного характера.

Задача об интерференции ударных вол двух последовательных во времени ЭГЭ может быть условно разделена на два более частных случая:

За). Образование второго по порядку ЭГЭ в данной области среды до или после момента прохождения фронта ударной волны от первого по порядку ЭГЭ через источник второго по порядку ЭГЭ.

В этом случае рассмотрение сводится к изучению процессов интерференции волн впереди или позади фронта ударной волны, поэтому мы с необходимостью придем к известным выводам о независимом переносе системой волн своих энергий без переноса вещества среды, что находится в полном соответствии с принципом суперпозиции ударных волн и законом сохранения энергии /1/.

3 б). Образование второго по порядку ЭГЭ в данной области среды осуществляется в момент прохождения фронта ударной волны от первого по порядку ЭГЭ через источник второго по порядку ЭГЭ.

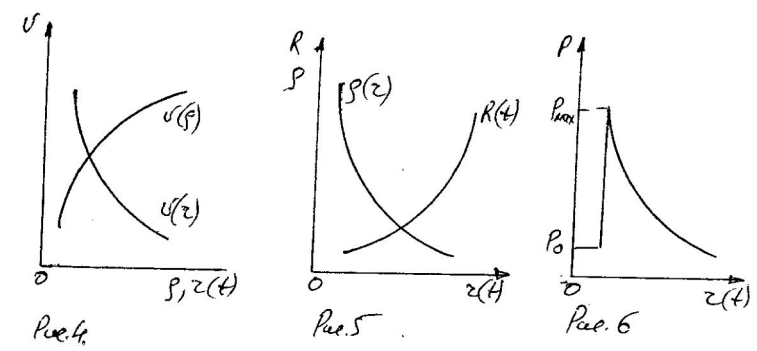
В этом случае оказывается справедливой теорема, которую невозможно вывести следствием из соотношений Ренкина – Гюгонио, поэтому требуется доказывать на основании результатов новейших

экспериментальных исследований:

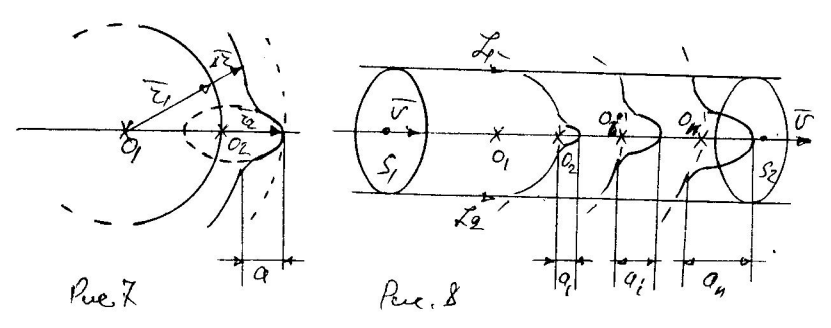
Суперпозиция волн в среде путем включения очередного источника в момент прохождения через него фронта ударной волны от предыдущего источника образует результирующий фронт волны кумулятивного характера.

Для доказательства данной теоремы примем во внимание следующие обстоятельства, которые были с высокой достоверностью установлены в результате новейших теоретических и экспериментальных исследований:

- А. Теоретически /3/ и экспериментально /6/, /9/ и др. установлена зависимость скорости распространения возмущений в среде от плотности среды, которая представлена графически на рис. 4.
- В. Экспериментально /6/,/9/ и др. установлена зависимость плотности среды в области ЭГЭ от фазы развития ЭГЭ , которая представлена графически на рис.5.
- С. Экспериментально /6/,/9/ и др. установлена зависимость давления в области ЭГЭ от фазы развития ЭГЭ, которая представлена графически на рис. 6.



С целью наглядности доказательства построим схему распространения волн от двух источников колебаний как показано на рис. 7, при этом придерживаясь выводов A,B,C на рис.4, рис.5 и рис.6:



Пусть точки O_1 и O_2 на рис.7 являются точками, в которых расположены источники колебаний, при этом в точке O_2 находится источник колебаний в момент прохождения через него фронта ударной волны от первого источника в точке O_1 .

Так как скорость распространения волн со временем убывает /см.рис.4 и рис.5/ ,то приращение радиуса первого фронта ударной

волны окажется меньше, чем радиус второго фронта ударной волны после разряда в точке O_2 в направлении распространгения первого фронта ударной волны, то есть можно отметить, что: Δ r_1 < r_2 (15).

Так как скорость распространения волн внутри воздушного пузыря ЭГЭ вокруг первого источника волн О₁ меньше скорости этих волн по невозмущенной среде (см.рис.5 и рис.6), то второго источника О2 область после второго разряда в через него первого фронта ударной волны момент прохождения асимметричной относительно O_2 , то есть источника фронт ударной волны в общем направлении распространения радиус-вектор больший, чем этот радиус-вектор в направлении к О₁ или в других направлениях.

Таким образом, обобщая выше отмеченные обстоятельства, при построении схемы распространения волн на рис.7 можно записать: $r_1 + r_2 > r_1 + \Delta r$ (16), то есть поверхность общего фронта ударных волн вокруг источников O_1 и O_2 при включении второго источника в момент прохождения через него фронта ударной волны от первого общего распространения источника в направлении волн имеет выступ, что и является проявлением кумулятивности данной суперпозиции ударных волн.

4. Образование потока среды в результате суперпозиции ударных волн.

Среди многочисленных следствий доказанной выше по п.3.б) теоремы особый интерес в плане поставленного вопроса представляет ее многократное применение к одной и той же трубке тока, как это показано на рис. 8. Действительно, рассмотрим трубку тока, на одной оси которой размещены последовательно несколько разрядников (см.рис.8). Положим здесь обеспеченным технически обстоятельство включения очередных разрядников в моменты прохождения ударных разрядников, например, волн от предыдущих помощью специальных формирователей разрядов. Конструктивно такая задача решена уже в нескольких изобретениях автора /10/,/11/ и др. Обозначим величину кумулятивного выступа впереди ударной волны через а; , где і – порядковый номер данного разряда. всякий раз ясно, что применяя Тогда совершенно теорему об образовании кумулятивного выступа относительно фронта ударной волны (см. по п.3.б), здесь приходится признать, что: $a_1 < a_2 < a_3 \dots < a_n$ (17). Действительно, каждый предыдущий выступ с больщим опережением, позволяя включает очередной разряд очередному кумулятивному выступу еще увеличить свою величину за возросшее время опережения.

Легко представить теперь себе, что общая длина трубки тока, на которой размещена система последовательных разрядников как на рис. 8, оказывается меньше или равной сумме всех выступов

кумулятивных фронтов ударных волн, тогда последний в ряду на линии тока выступ окажется выбросом данной среды за пределы данной трубки тока.

В силу принципа неразрывности среды из этого обстоятельства следует необходимость образования потока среды по данной трубке тока в направлении порядка следования разрядов. При этом нет необходимости в бесконечно большом числе разрядников бесконечно длинной трубке тока, так как при конечном числе разрядников в конечной трубке тока возможно технически после разрядника последнего в ряду осуществить с помощью формирователя разрядов включение первого из них в данном ряду, то есть замкнуть ряд разрядников на себя, повторяя циклы сколь угодно долго, поддерживая образование потока разрядов среды по данной трубке тока за счет наложения ударных волн в соответствии с доказанной выше по п 3.б) теоремой.

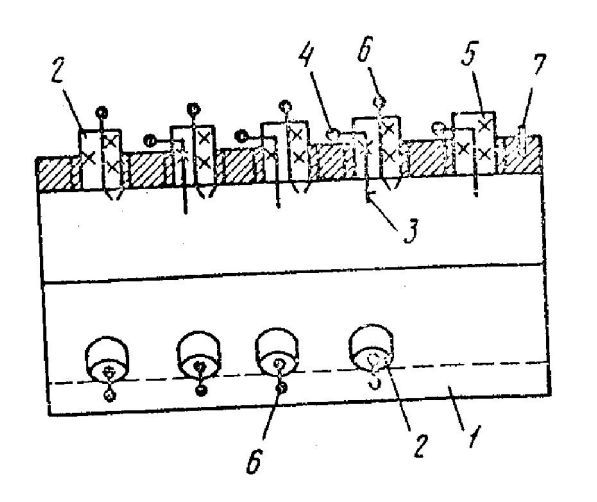
суперпозиции образом, в сплошной среде в результате ударных волн **0T** электрических разрядов на разрядниках, расположенных последовательно на линии тока, путем включения в моменты через них фронтов ударных прохождения волн от предыдущих разрядов образуется поток данной среды в направлении порядка следования разрядов.

5. Возможности кумулятивного электрогидравлического эффекта в повышении эффективности электрогидравлических систем.

реализация на уровне технического решения в результате суперпозиции ударных потока среды волн как на рис.8 по существу является осуществлением устройства электрогидравлического насоса, то вывод об образовании кумулятивного фронта ударных волн перспективу широкую для его технического использования в гидравлике.

между собой Так как действия насоса и движителя являются обратными, то на основе данного открывается также и вывода возможность судовых движителей с непосредственным развития электроэнергии в механическую работу по движению превращением судна. В качестве иллюстраций изложенных выводов о практических возможностях использования кумулятивного электрогидравлического привести несколько изобретений автора. онжом Например, электрогидравлический насос по патенту РФ N 1824504 /10/ представляет собой трубу 1 (см.рис.9), по круговым сечениям в корпусе которой выполнены изолирующие пробки 2 с разрядниками 3, включенных по принципиальной электросхеме (см.рис.10).

При включении электропитания на разрядники ударные волны создают поток рабочей среды путем создания кумулятивного



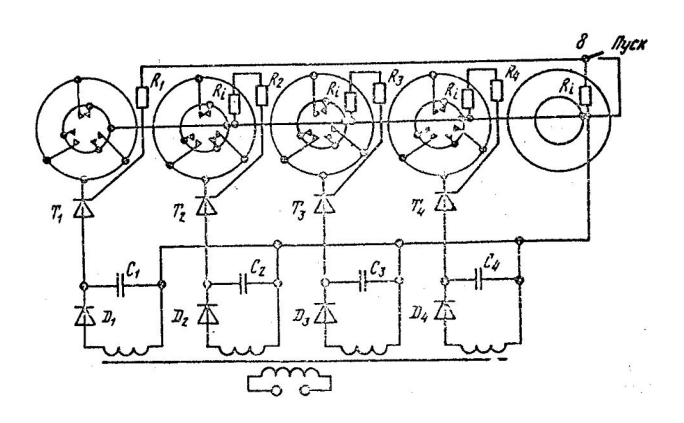


Рис.9

Рис.10

При электропитания на разрядники включении ударные волны создают поток рабочей среды путем создания кумулятивного вследствие образования общего фронта ударных волн фронта вокруг разрядников данного кругового сечения корпуса насоса. Так поршни, рабочие колеса, как в подобных насосах отсутствуют лопасти и другие конструктивные признаки известных насосов, то обстоятельство позволит обеспечить ланное повышение производительности за счет снижения гидравлического сопротивления . Кроме того, использование ЭГЭ, в процессе которого достигаются давления, открывает В гидравлике сверхвысокие высоконапорных насосов, способных надежно работать в острая потребность агрессивных средах, в чем давно ощущается современных отраслях промышленности химической, металлургии, энергетике и пр. Здесь ясно, что размещение разрядников на внешней корпуса немедленно приводит к созданию обратного поверхности процесса – движению корпуса в среде, то есть позволяет самого строить различные судовые движители, один из которых по патенту РФ N 1483825 /11/ представлен на рис. 11, а его принципиальная схема на рис. 12.

Рис. 11.

Рис.12

Практическое применение кумулятивного электрогидравлического эффекта не исчерпывается указанными выше изобретениями по /10/ и /11/ и др., так как позволяет создавать другие принципиально технические решения, в которых используется непосредственного превращения электроэнергии работу. В качестве подобных устройств автор механическую (патент РФ № 1428225) разработал ПЛУГИ буровые головки (патент РФ № 2026990), немагнитные электродвигатели и реле

(патент РФ № 2063122) , устройства для резки струей высокого давления (патент РФ № 1598338) и смесители (патент РФ № 1534818) (патент РФ № 2063122) , дождевальные **установки** активные колеса (патент РФ № 1736752) высокопроходимые другие устройства /12/, использование которых в народном хозяйстве позволит не только повысить производительность, надежность работы оборудования, но и обеспечить технологического экологическую безопасность многих наших технологических процессов упомянутых и других отраслях промышленности.

Список литературы:

- 1. Зельдович Я. Б., Райзер Ю.П. Физика ударных волн и высокотемпературных гидродинамических явлений. М., «Наука», 1968 г. стр.46-58, 201, 374 и др.
- 2. Фадеенко Ю.И. и др. Разрядные волны в канале с последовательностью искровых промежутков. //.»Физика горения и взрыва» N 1/1969 г.,с.144.
- 3. Седов Л.И. Механика сплошной среды. М.,»Наука»,1976 г. т.1,с.447,т.2,с.26.
- 4. Риман Б. Сочинения.М-Л.,ОГИЗ,1948 г.,стр.376 и далее.
- 5.Юткин Л.А.Электрогидравлический эффект.М-Л.,Машгиз, 1955 г.стр.8.
- 6.Наугольных К.А., Рой Н.А. Электрический разряд в воде. М., «Наука», 1971 г.
- 7.Несветайлов Г.А., Серебряков А.А. Теория и практика электрогидравлического эффекта.Минск,ИНТИ,1965 г.стр.4 и др.
- 8.Попилов Л.Я. Электро-физическая и электромеханическая обработка материалов. М.,»Машиностроение»,1969 г., стр.263 и далее.
- 9.Иванов В.В. О применимости приближения Кирквуда Бете для исследования мощных подводных искровых разрядов цилиндрической симметрии.// «Электро-гидравлический эффект и его применение», Киев, АН УССР,1981 г.
- 10.Вертинский П.А. Электрогидравлический насос. Патент РФ N 1824504, 1989 г.
- 11.Вертинский П.А. Электрогидравлический судовой движитель. Патент РФ N 1483825, 1987 г.
- 12.Вертинский П.А. Электрогидравлика.г.Усолье-Сибирское,1996

02. ИСПОЛЬЗОВАНИЕ КУМУЛЯТИВНОГО ЭФФЕКТА СУПЕРПОЗИЦИИ УДАРНЫХ ВОЛН ВОКРУГ ЭЛЕКТРИЧЕСКИХ РАЗРЯДОВ В ПРОМЫШЛЕННЫХ ТЕХНОЛОГИЯХ.

1 ПРЕДИСЛОВИЕ

Автору уже пришлось на конференции «Сибресурс-2002» доказывать теорему о фронте ударной волны кумулятивного характера, но здесь необходимо снова привести ее формулировку:

<u>Суперпозиция ударных волн в среде путем включения очередного источника в момент прохождения через него фронта ударной волны от предыдущего источника образует результирующий фронт волны кумулятивного характера.[1]</u>

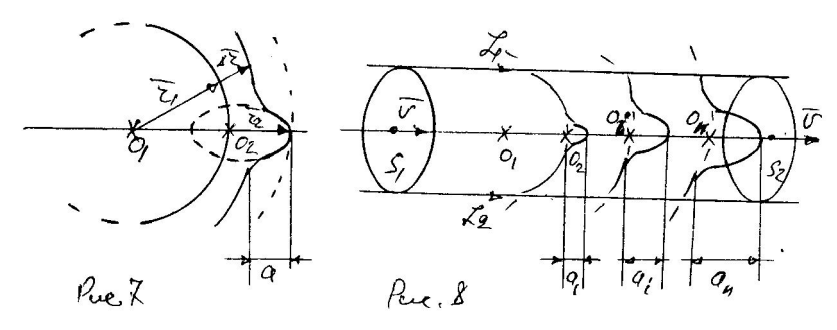


Рис. 1 (рис.7 по .[1]) Рис. 2 (рис.8 по .[1])

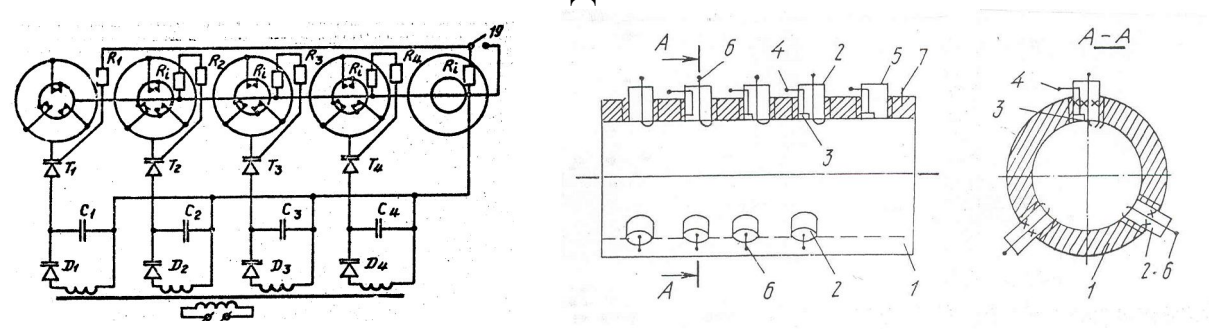
Действительно, так как скорость распространения волн со временем убывает, то приращение радиуса первого фронта ударной волны окажется меньше, чем радиус второго фронта ударной волны после разряда в точке O_2 в направлении распространения первого фронта ударной волны, то есть можно отметить, что : Δ r_1 < r_2 (1)

Таким образом, обобщая выше отмеченные обстоятельства, при построении схемы распространения волн на рис.2 можно записать: $\mathbf{r}_1 + \mathbf{r}_2 > \mathbf{r}_1 + \Delta \mathbf{r}$ (2), то есть поверхность общего фронта ударных волн вокруг источников O_1 и O_2 при включении второго источника в момент прохождения через него фронта ударной волны от первого общего распространения источника в направлении волн кумулятивности проявлением выступ, что и является ударных волн. Обозначим суперпозиции величину кумулятивного выступа впереди фронта ударной волны через a_i , где i – порядковый номер данного разряда. Тогда совершенно ясно, что применяя всякий раз теорему об образовании кумулятивного выступа относительно предыдущего фронта ударной волны, здесь приходится признать, что: $a_1 < a_2 < a_3 \dots < a_n$ (3). Действительно, каждый предыдущий выступ включает очередной разряд с ещё большим опережением, позволяя очередному кумулятивному выступу еще увеличить свою величину за возросшее время опережения. Легко представить теперь себе, что общая длина трубки тока, на которой размещена система

последовательных разрядников как на рис. 2 оказывается меньше или равной сумме всех выступов кумулятивных фронтов ударных волн, тогда последний в ряду на линии тока выступ окажется выбросом данной среды за пределы данной трубки тока.

В силу принципа неразрывности среды из этого обстоятельства следует необходимость образования потока среды по данной трубке тока в направлении порядка следования разрядов.

2.ЭЛЕКТРОРАЗРЯДНЫЕ НАСОСЫ



Puc.3 Puc.4 Puc.5

практического приложения этой В качестве теоремы принцип действия электрогидравлических насосов [2]. рассмотрим быть представлены они могут одной принципиальной электросхемой, изображенной на рис.3. В сущности электросхема блоком электропитания принципиальная c представляет собой генератор импульсного тока с раздельными батареями конденсаторов для разрядников.

Конструктивно такая электросхема может быть выполнена как показано на рис.4 и рис.5, а некоторые возможные формирователи рис.7 и показаны на рис.6, рис.8 [2], на :продольный формирователя представлены разрез разрядов типа (рис.6), электроразрядного типа (рис.7) и тензорезисторного пускового формирователя разрядов (рис.8).

Насос содержит корпус 1, блок электропитания, разрядные устройства 2, размещенные в электроизолирующих пробках по три равномерно по круговым сечениям корпуса 1. Формирователи 3 разрядов могут быть выполнены в виде тензорезисторов полупроводникового типа с выводами 4 через пробку разрядника 2, либо в виде пъезоэлектрического датчика, размещенного аналогично, либо в виде проводникогового стержня 3 в пробке разрядника 2.

Формирователь 3 разрядов любого типа для первой группы разрядников 2 размещен на отдельном держателе 5 после последней группы разрядников 2 на расстоянии, не менее радиуса корпуса 1.

Все разрядники 2 имеют выводы 6 от одного из электродов пары, а вторым выводом служит металл корпуса 1 с общим выводом 7. В случае возможного исполнения корпуса 1 из диэлектрика каждый разрядник 2 имеет свой вывод, соединенный с клеммой 7. Пусковой

формирователь 8 разрядов в виде тензорезистора или пьезоэлектрика с клавишей 9 и шариком 10 имеет выводы 11 и 12, соединенные параллельно первому формирователю 3 разрядов.

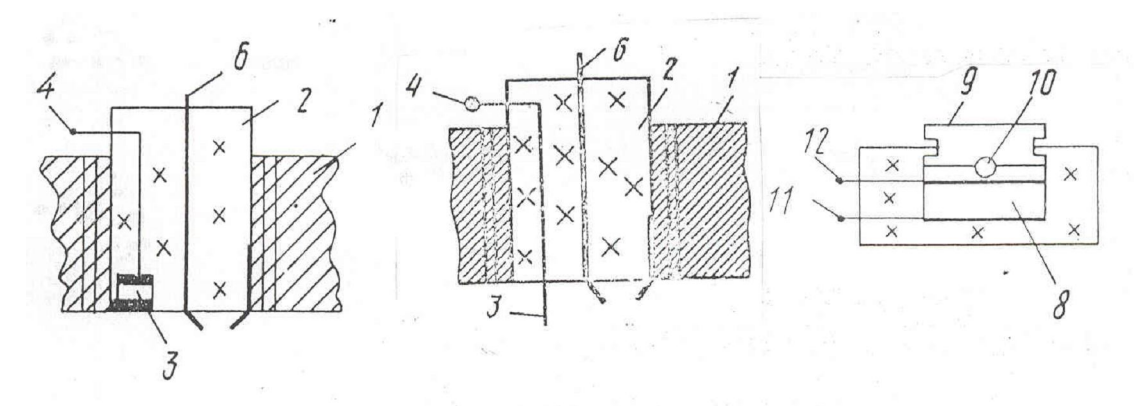


Рис. 6 Рис. 7 Рис. 8

Все разрядники 2 имеют выводы 6 от одного из электродов пары, а вторым выводом служит металл корпуса 1 с общим выводом 7. В случае возможного исполнения корпуса 1 из диэлектрика каждый разрядник 2 имеет свой вывод, соединенный с клеммой 7. Пусковой формирователь 8 разрядов в виде тензорезистора или пьезоэлектрика с клавишей 9 и шариком 10 имеет выводы 11 и 12, соединенные параллельно первому формирователю 3 разрядов.

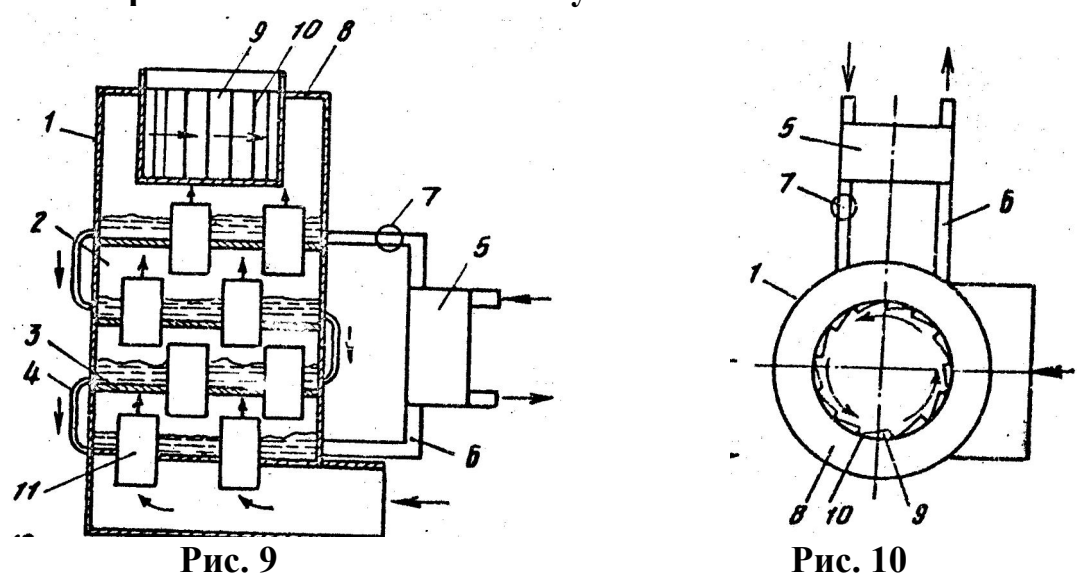
При включении электропитания на разрядники 2 ударные волны распространяются вдоль канала насоса, своим давлением по фронту воздействуют на формирователи 3 разрядов очередных разрядников 2, включая их в моменты прохождения фронта ударной волны через них, поддерживая таким образом работу насоса на протяжении всего периода работы схемы электропитания.

3. ЭЛЕКТРОФИЛЬТР ДЫМОВЫХ ГАЗОВ ПО ПАТЕНТУ РФ № 1837447[3].

Уже непосредственное применение указанных выше насосов по своему прямому назначению в газовых средах позволяет им сразу проявить свои принципиальные конструктивные преимущества: низкое гидравлическое сопротивление свободного от механических препятствий потоку корпуса насоса и высокие напоры вследствие непосредственного преобразования электрической энергии работу в механическую по перемещению рабочей среды. Такой показан вертикальным разрезом (рис.9) по всему электрофильтр корпусу фильтра и видом (рис.10) сверху. Насосы фильтра показаны условно по месту их выполнения внутри корпуса фильтра, устроены по описанному выше по п.1 и применяются по прямому своему назначению.

Дымовой электрофильтр состоит из корпуса 1, разделенного на ярусные камеры 2 с помощью перегородок 3, по которым

выполнены желоба для воды, соединенные между собой последовательно с помощью трубопроводов 4 с емкостью 5, магистралью 6 и насосной установкой 7.



Нижний ярус камер 2 соединен с дымоходом, а верхний ярус камер 2 имеет потолочное перекрытие 8 с цилиндрическим выходом в виде вертикальных лопастей 9, между которыми выполнены сопла-щели 10. В перегородках 3 встроены в шахматном порядке описанные выше по п.1 электроразрядные насосы 11.

Так как в процессе электрических разрядов по фронтам ударных волн вокруг разрядников создаётся высокое импульсное давление дымовой среды, то крупные частицы золы и сажи коагулируют и выпадают в желоба с водой каждой ярусной камеры.

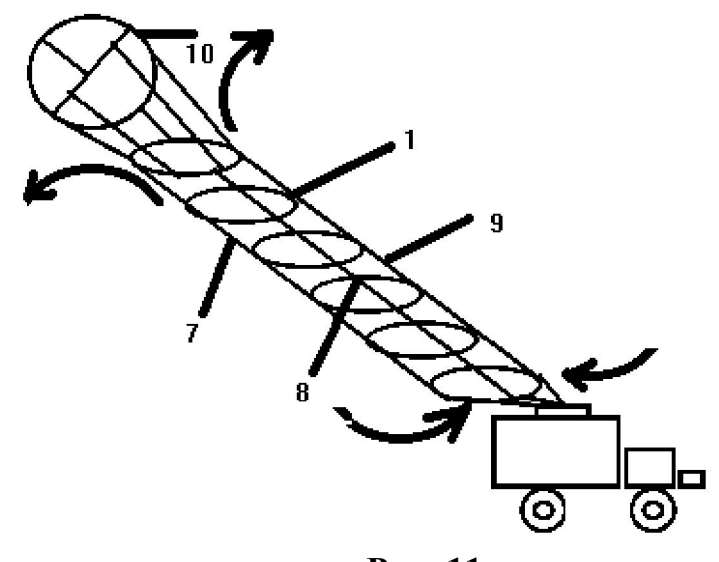
Так как в электроразрядных фильтрах дымовая среда подвергается ионизации, то на выходе каждого насоса создаётся повышенная концентрация центров коагуляции в виде ионов газовых молекул и электризованных мелкодисперсных частиц.

Таким образом, при включении электропитания насосы 11 создают напор в своих ярусных камерах, образуя тягу дымовых газов из дымохода. Так как с повышением давлениях в ярусных камерах повышается коагуляция мелкодисперсных частиц и растворение газовых примесей дыма.

Описанные выше особенности устройства и работы электроразрядного дымового фильтра позволяют использовать его для улавливания летучей золы и сажи, других мелкодисперсных частиц и растворимых в воде газовых примесей дымовых газов, то есть применять для очистки газовых выбросов предприятий энергетики, металлургии, химической промышленности и др.

4. ЭЛЕКТРОРАЗРЯДНЫЙ НАСОС ПО ЗАЯВКЕ РОСПАТЕНТА № 5049463/29 [4]

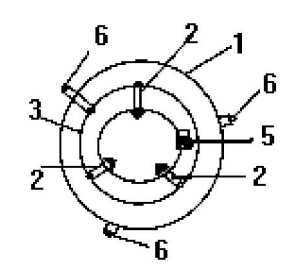
Здесь необходимо уточнить относительно содержания теоремы по п.1, которая справедлива в пределах трубки тока (см. рис.2) безотносительно к материалу стенок - границ этой трубки L_1 - L_2 . Другими словами, справедливость выражения (3) не нарушается даже при «выполнении» этих «стенок» L_1 - L_2 из материала рабочей среды, то есть по существу без ограничивающих трубку тока стенок. При этом ясно, что рассчитывать на справедливость выражения (3) мы вправе лишь в пределах этой трубки тока, то есть внутри границ L_1 - L_2 . Таким образом, в качестве прямого следствия указанной теоремы вытекает принципиальная техническая возможность создания с



электрических помошью разрядов направленных потоков этой рабочей без применения специальных трубопроводов. В качестве примера одного многочисленных практических решений этой задачи рассмотрим устройство И работу электроразрядного насоса по заявке Роспатента № 5049463/29 [4]. На рис.11

Рис. 11 показан вид электрразрядного насоса в рабочем положении (вариант), на рис. 12 вид в плане одного из кольцевых держателей разрядников, на рис. 13 показан диаметральный разрез держателя разрядников.

Насос состоит из соосного ряда кольцевых держателей 1 с разрядниками 2 по равномерно на каждом держателе, три между собой электрически параллельно кольцевыми соединенные электроразрядники 2 соединены с шинами 3 и 4. Все импульсного тока по схеме на рис. 3 с помощью формирователей 5 разрядов по схеме на рис. 7 или рис. 8 в зависимости от конкретных условий эксплуатации. С помощью электрических клемм 6 шины 3 и 4 присоединены электропроводами 7, 8 и 9 к блоку электропитания.



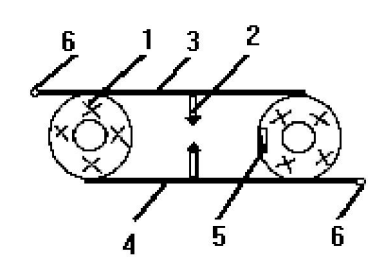


Рис. 12

Рис. 13

Электропровода 7, 8, и 9 выполнены многожильными, гибкими и укреплены на стропах или штангах между блоком питания, например, на транспортном средстве, и подъёмником 10, например, аэростатного типа.

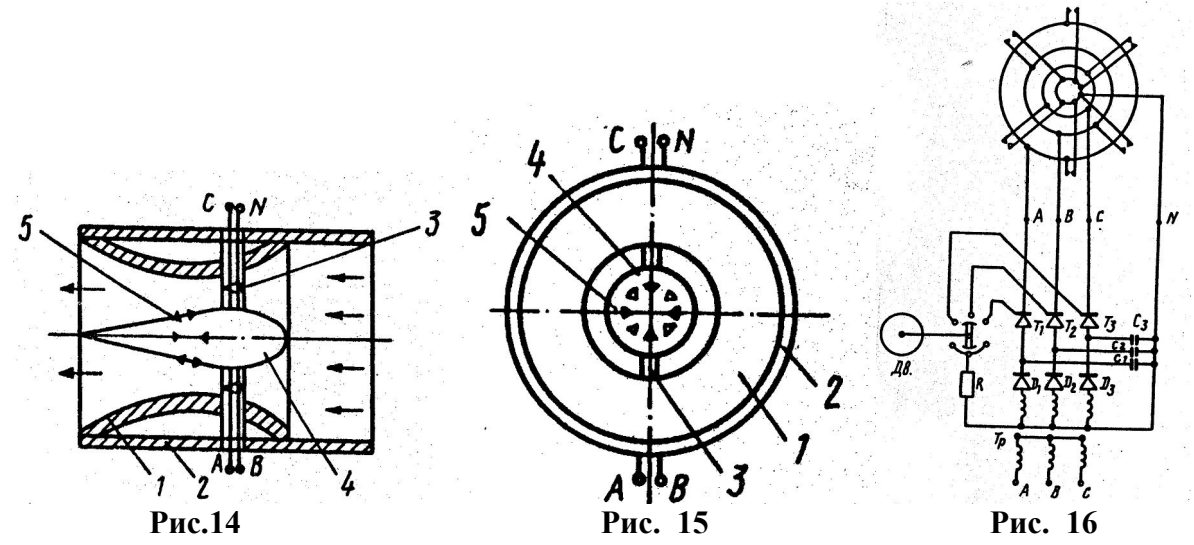
После включения электропитания ГИТ,а разрядники 2 создают направленный фронт ударных волн вдоль канала насоса внутри кольцевых держателей 1 разрядников, который образует поток рабочей среды в заданном направлении, увлекая окружающий воздух с содержащимися в нём компонентами.

Функциональные возможности электроразрядного насоса позволяют применять его для дегазации зараженных территорий путём рассеивания газов на больших высотах в естественных потоках атмосферы, например, рассеивать смоги в городских микрорайонах в безветренную погоду, вентилировать крупногабаритные промышленные помещения, ангары и т. п. По заявке № 5049463/29 автор имеет решение Роспатента о выдаче патента на изобретение [4].

5. СОПЛО РЕАКТИВНОГО ДВИГАТЕЛЯ ПО ПАТЕНТУ РФ № 2041376 [5]

Ясно, что изложенные выше примеры реализации на уровне образования технических решений схемы потока в результате суперпозиции ударных волн как на рис.2 по существу являются осуществлением схемы устройства электрогидравлического подтверждая тем самым наш вывод об образовании кумулятивного фронта ударных волн И открывая широкую перспективу для его технического использования в гидравлике.

Вместе с тем, так как действия насоса и движителя между собой являются обратными, то на основе данного вывода открывается также и возможность развития движителей с непосредственным электроэнергии в механическую работу по движению превращением средства. В качестве иллюстраций транспортного изложенных выводов о практических возможностях использования кумулятивного электрогидравлического эффекта здесь можно привести несколько изобретений автора.

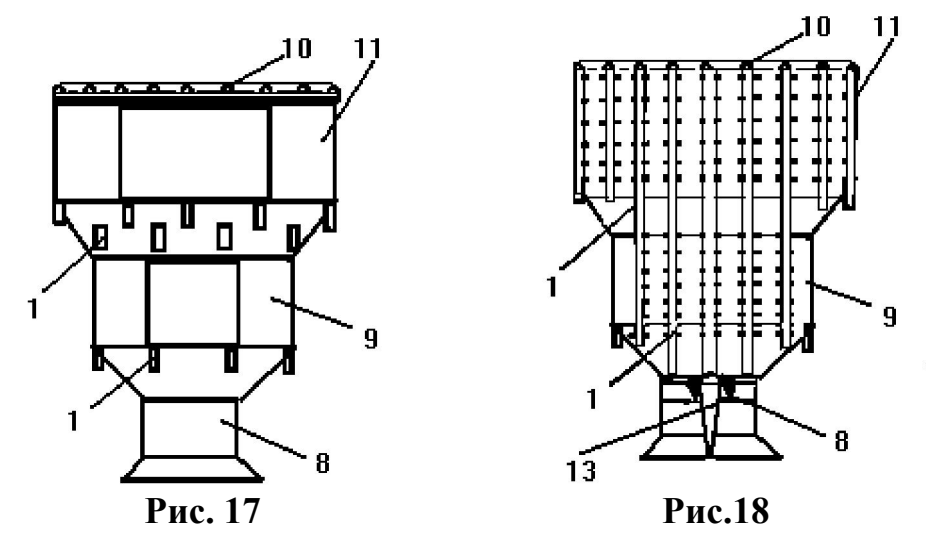


В качестве простого наглядного примера электроразрядного движителя здесь можно привести сопло ракетного двигателя по патенту РФ № 2041376 [5]. На рис. 12 показан разрез сопла по его оси, рис. 13 - вид сопла с торца, а на рис. 14 - принципиальная электросхема сопла. Сверхзвуковое сопло 1 размещено в корпусе 2, внутри сопла 1 на кронштейнах 3 обтекаемого сечения соосно укреплен отражатель 4 также обтекаемого сечения основанием к сопла 1. По кольцевому сечению отражателя 4 на его выходу конической части размещены электроразрядники 5 многофазной по две однофазной пары электродов системы с диаметрально противоположных сторон отражателя 4, которые соединены многофазного источником импульсного источника тока на в цепи управления которых включен тиристорах, формирователь разрядов с регулируемой частотой (скважностью), помощью управляемого электродвигателя с коммутационной системой в цепи управления тиристоров.

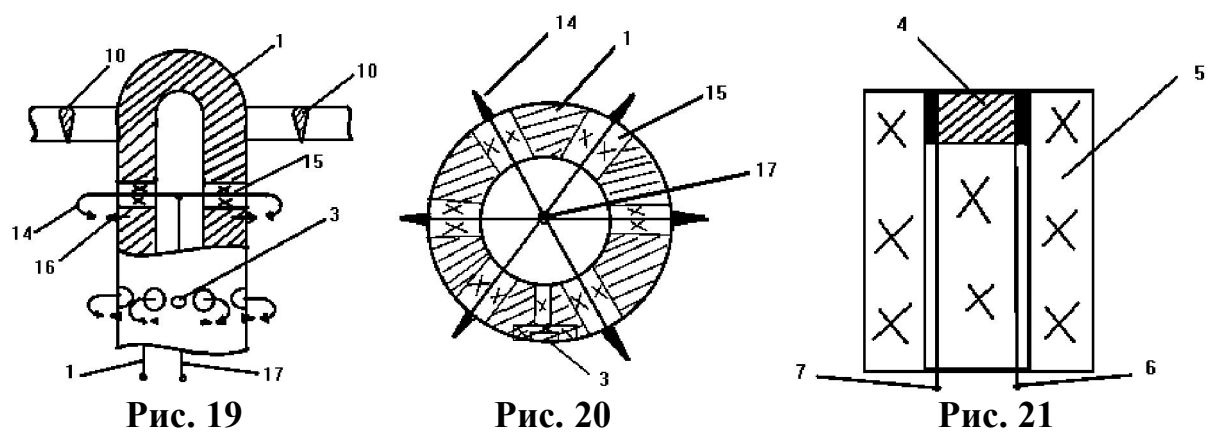
При включении электропитания разрядников 5 отражателе 4, осуществляются посредством разряды которых скважности ГИТ,а, на противоположных регулируемой сторонах отражателя 4 образуется давление ударных волн, направленное к выходу из сопла, то есть ускоряющее поток реактивных газов, тем самым соответственно увеличивая тягу сопла, определяемую мощностью скважностью импульсного тока.

6.ЭЛЕКТРОРАЗРЯДНЫЙ ДВИЖИТЕЛЬ ПО ЗАЯВКЕ РОСПАТЕНТА №5064157/11 [6].

Здесь вспомнить о нашей принципиальной надо снова технической возможности создания с помошью электрических рабочей среды без применения направленных потоков разрядов специальных трубопроводов, которую мы использовали выше для устройства и работы электроразрядного насоса по заявке Роспатента № 5049463/29 [4].



Роспатента № 5049463/29 [4] Так как канал насоса по заявке можно создать не только помощью кольцевых держателей C стержневых электроразрядников, но и, например, помошью открывается образовывать держателей, T0 возможность многоканальные насосы, размещая держатели электроразрядников параллельными системами, как это выполнено в электроразрядном движителе по заявке Роспатента №5064157/11 [6].



На рис. 17 показан общий вид движителя, на рис. 18 – его продольный разрез, на рис. 19 – местный вырез стержневого держателя по противоположным разрядникам, на рис. 20 - поперечный разрез стержневого держателя по электроразрядникам, на рис. 21 – продольный разрез формирователя разрядов тензорезисторного типа.

Движитель содержит заданное число ступеней систем держателей 1, образующих в каждой ступени ячеистую стержневых шестигранной (см. рис.17 и рис. 18). структуру, например, формы выполнены электроразрядники 2, На держателях 1 элекроразрядов электропитания соединенные источником посредством формирователей 3 например, тензорезисторного типа, разрядов, закрепленных в электроизолирующих пробках 5 с выводами 6 и 7 в цепи управления тиристоров генератора **ДЛЯ** импульсного тока. Последняя ступень движителя снабжена соплом 6

сверхзвукового типа, а все ступени движителя закреплены в общем ступенчатом корпусе 9 с помощью решетки 10 в раструбе 11 первой ступени и кронштейнов 12 с осевым обтекателем 13 сопла 6.

Электроразрядники 2 представляют собой пары из электродов 14 в электроизолирующих пробках 15 и электродов-штырей 16 в стенке держателя 1. Выводы 14 присоединены к общему проводу 17, размещенному внутри трубки держателя 1 и с помощью включателя соединенному с электросхемой блока электропитания.

При включении электропитания каждая группа держателей 1 по ребрам призм ячеистой, например, шестигранной структуры образует электроразрядный насос открытого типа, которые создают поток с возрастающей от ступени к ступени скоростью ионизированного воздуха, определяя реактивную тягу движителя в соответствии с заданными условиями эксплуатации. Так как реактивная путём вовлечения в движитель окружающего движителя создаётся воздуха, то данное обстоятельство предотвращает применение топлива и окислителя, обеспечивая энергопитание за счёт использования, например, энергоблоков ядерного типа или др. Так как реактивная струя движителя создаёт тягу по оси движителя, то путём поворота корпуса движителя возможно изменение вектора тяги вплоть до встречного направления, например, при осуществлении торможения. По заявке №5064157/11 автор имеет решение Роспатента о выдаче патента на изобретение [6].

Литература:

- 1. Вертинский П.А. Электрогидравлическая трубопроводная магистраль с отрицательным гидравлическим сопротивлением как принципиальная техническая основа решений природоохранных задач // Сб. м.VI «Сибресурс-2003», Иркутск, БГУЭП, 2003.
- 2. Вертинский П.А. Электрогидравлический насос // Патент РФ № 1824504, БИ №
- 3. Вертинский П.А. Электрофильтр дымовых газов // Патент РФ № 1837447, БИ №
- 4. Вертинский П. А. Электроразряднй насос по заявке Роспатента № 5049463/29 // Вертинский П.А. П. Электрогидравлика, г. Усолье-Сибирское, 1996, стр.122-123.
- 5. Вертинский П.А. Сопло реактивного двигателя // Патент РФ № 2041376 , БИ № 22/1995.
- 6. Вертинский П. А. Электроразрядный движитель по заявке Роспатента № 5064157/11 // ИЛ № 017-93 ЦНТИ, Иркутск,1993.

03. ПРАКТИЧЕСКИЕ ДИАПАЗОНЫ ВОЗМОЖНОСТЕЙ ЭЛЕКТРОГИДРАВЛИЧЕСКОГО ЭФФЕКТА

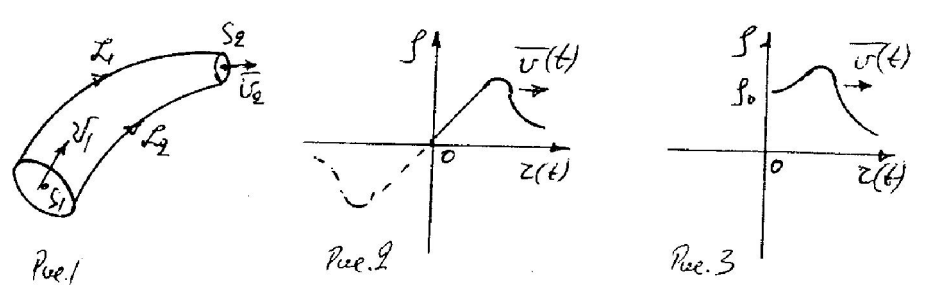
Введение.

Как известно, согласно современным представлениям гидродинамической теории суперпозиция ударных волн в среде не вызывает образования потоков данной среды, сопровождаясь лишь передачей энергии волн без перемещения вещества в среде [1]. трактатов Д. 3a исторический период после фундаментальных «Гидродинамика» / 1738 г./ и Л. Эйлера «Общие принципы сформировалась жидкости» /1755 г./ в гидродинамике движения система уравнений движения сплошной среды (жидкости или газа), которая рассматривает среду изотропной и гиротропной:

$$\frac{d\overline{v}}{dt} = \overline{F} - \frac{1}{\rho} \operatorname{grad} \rho \quad (1), \quad \operatorname{div} \ \overline{v} = 0 \quad (2), \quad \frac{d\rho}{dt} = 0 \quad (3).$$

Для практических расчетов установившихся движений несжимаемой жидкости на основе уравнений (1),(2) и (3) широко используется первый интеграл Бернулли, частное решение которого для трубки тока как на рис.1 можно записать: $\frac{v^2}{2} + \frac{p}{\rho} + \text{gh} = \text{Const}$ (4).

По существу уравнение (4) выражает собой закон сохранения энергии в трубке тока среды, что совершенно справедливо в условиях невмешательства извне в энергетический баланс данной трубки тока. поэтому, Б.Риман еще в 1860 году в своем мемуаре "O Именно конечной амплитуды ", распространении плоских волн возмущений в среде, рассматривая распространение выводу об образовании ударных волн в баротропных средах, так как: $x = tc(\rho) + \varphi(\rho)$ (5). В соответствии с выводом (5) распространение возмущений плотности среды можно представить графически как на рис.2, но с учетом второго начала термодинамики волны разрежения невозможны, поэтому реально выполняется лишь правая часть графика, то есть зависимость как на рис.3.



Такие возмущения в среде называются акустическими, а описывающая их теория является линейной, не позволяя рассматривать импульсные явления с образованием в среде паро – газо - вакуумных полостей, когда жидкость уже нельзя рассматривать сплошной несжимаемой средой. Рассматривая такие импульсные

явления в среде с позиций газовой динамики, на основе законов сохранения массы, импульса и энергии, мы придем к известным соотношениям Ренкина – Гюгонио [1], которые для плоского случая в неподвижной системе координат могут быть представлены:

$$ho_1$$
 (D – U ₁) = ho_2 (D - U₂) (6), $P_1 +
ho_1$ U₁(D - U ₁)= $P_2 +
ho_2$ U ₂(D - U ₂) (7),
 e_1 - $e_2 = \frac{1}{2}$ (P_1 - P_2) ($\frac{1}{\rho_1}$ - $\frac{1}{\rho_2}$) (8), где : D - скорость ударной волны,

U - скорость среды , а ρ , P , е - соответственно плотность, давление и удельная внутренняя энергия жидкости. Здесь индексами 1 и 2 обозначены соответственно состояния среды по обе стороны поверхности разрыва. В частном случае для покоящейся перед ударной волной среды, когда $U_1 = 0$ (9) имеем следствия: $\rho_1 D = \rho_2 (D_1 - U_2)$ (10)

$$\mathbf{P_1} = \mathbf{P_2} + \rho_2 \mathbf{U_2} (\mathbf{D} - \mathbf{U_2}) \quad (11) \quad \mathbf{u} \quad \mathbf{e_1} - \mathbf{e_2} = \frac{1}{2} (\mathbf{P_1} - \mathbf{P_2}) (\frac{1}{\rho_1} - \frac{1}{\rho_2}) \quad (12).$$

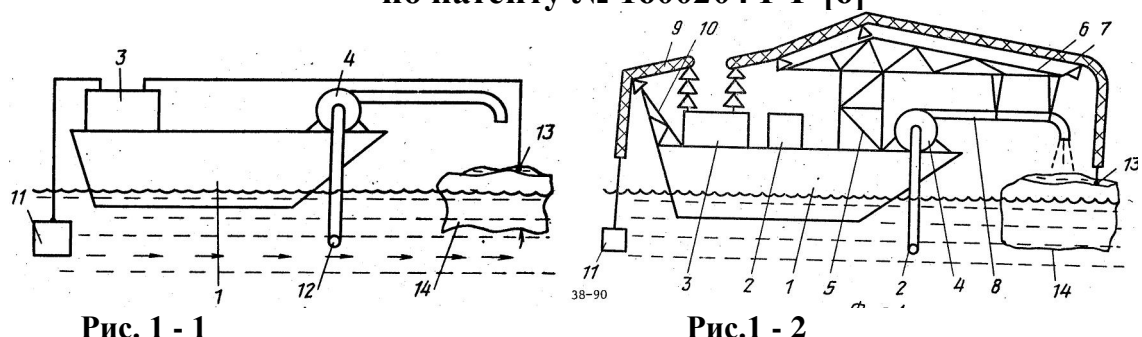
Отсюда следует вывод о том, что при условии образования ударной волны , то есть когда $D \neq 0$ (13), то имеет место $U_2 > 0$ (14).

Таким образом, импульсная ударная волна порождает движение сплошной среды во все стороны, то есть взрыв, который может быть направлен, например, неоднородностью среды или специальными техническими приспособлениями (отражателями, экранами и т.п.), то есть ,рассматривая импульсные **у**дарные волны с позиший нелинейной газовой динамики, мы приходим к возможности образования направленного выброса среды в различных направлениях системой единичных взрывов, которые не могут в качестве непрерывных потоков рассматриваться данной среды. следствием (14) из соотношений что и подтверждается Ренкина -Гюгонио.

Вместе тем, как ЭТО обнаружилось изучении электрогидравлического эффекта [1] с помощью последнего возможность представляется новая техническими средствами энергию в поток среды с установившимся движением, подводить тем самым влияние на энергетический баланс заданной области среды. Более того, получили практическое применение сосудов, полостей, различные устройства В виде отражающих поверхностей и т.п., с помощью которых формируются кумулятивные струи жидкости под действием ЭГЭ [2].

Так как в работах автора [3], [4], [5] и др. предпочтение отдаётся лишь техническим решением с использованием кумулятивного электрогидравлического эффекта (движителей, насосов и т.п.), то здесь необходимо привести несколько примеров технических решений, в которых технический результат достигается за счёт применения упомянутых устройств.

1.Способ разрушения ледяного покрова по патенту № 1600204 РФ [6]



Изобретение предназначено для расширения навигационных сроков в полярных широтах и включает в себя установку для электрогидравлического разрушения ледяного покрова.

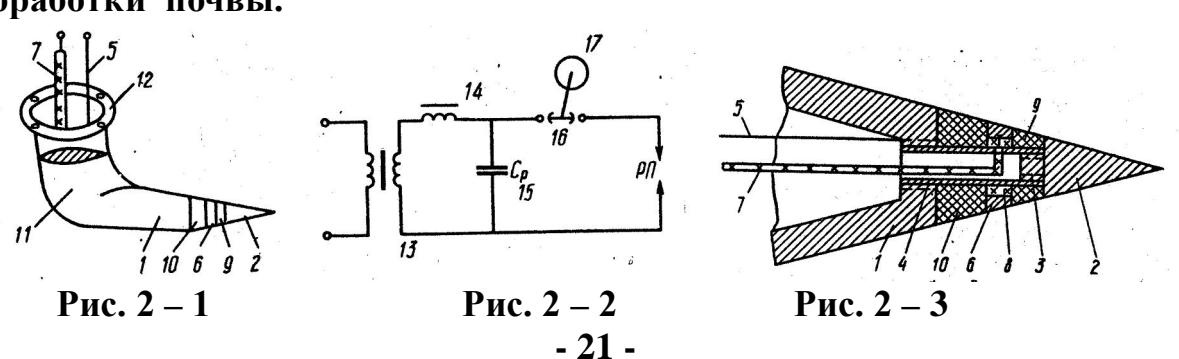
На рис. 1 − 1 приведена принципиальная электросхема установки, а на рис. 1 − 2 показана схема установки в процессе работы.

Установка размещена на борту судна 1 ледокольного типа включает в себя энергоустановку 2, блок электропитания 3, насосную установку 4, опору 5 со стрелой 6, на которой вынесены конец кабеля 7 от блока электропитания 3 и конец шланга 8 от насосной установки 4. Конеш кабеля 9 противоположного полюса с помошью дополнительной опоры 10 опущен в воду за бортом и там присоединен к пластине - электроду 11. Конец шланга 12 от всасывающего патрубка также опущен в воду насосной установки за борт и 4 водозабором. На конце кабеля 7 присоединен массивный электрод 13, например, шарообразной формы, который размещается разрушаемой льдине 14.

При подходе судна к льдине 14 насосной установкой 4 забортная вода заливается на льдину 14, на неё устанавливается электрод 13 и включается электрический разряд по поверхности льдины 14 и её микротрещинам, который разрушает её на мелкие куски, позволяя судну продолжать продвижение по курсу до встречи с очередной льдиной 14 для повторения способа по описанному.

2. Электроискровой плуг по патенту № 1428225 РФ[7]

Изобретение позволяет развивать высокую производительность на переувлажненных плантациях и предназначено для безотвальной обработки почвы.



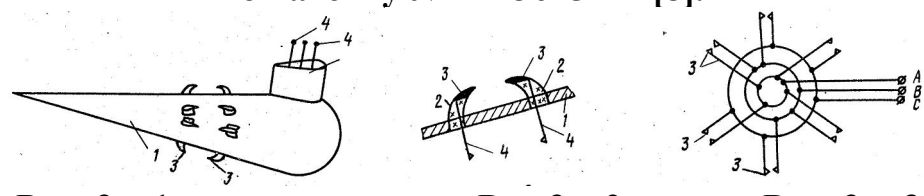
На рис. 2-1 показан общий вид плуга сбоку, на рис. 2-2 - его принципиальная электросхема, а на рис. 2-3 - продольный разрез корпуса плуга по оси.

Плуг состоит из корпуса 1, на котором размещен электрод 2, электрически соединенный пробкой 3, трубкой 4 проводом 5 с источником электропитания на борту машины. Второй электрод в виде кольца 6 с выводом 7 на изоляторе 8 и изолирующих прокладках 9 и 10 образует с первым электродом 2 электроразрядную пару. Корпус 1 плуга прикреплен к несущей стойке плуга (не показана) вертикального 11 бортиком 12. Источник ножа c электропитания состоит типового генератора переменного И3 (не показан), трансформатора 13, дросселя 14, конденсаторов 15 и формирователя разрядов 16 с двигателем 17.

При включении электропитания на заглубленный плуг между электродами 2 и 6 с частотой, определяемой скоростью вращения двигателя 17, осуществляются электрические разряды через почвенный слой, ударные волны от которых разрыхляют почву, одновременно облегчая продвижение плуга по ходу машины.

Регулируя скорость разрядов и величину электрического напряжения в зависимости от конкретных условий эксплуатации, достигается оптимальный режим обработки почвы.

3.Электрогидравлический судовой движитель по патенту № 1213645PФ [8].



Puc. 3 – 1 Puc. 3 – 2 Puc. 3 – 3

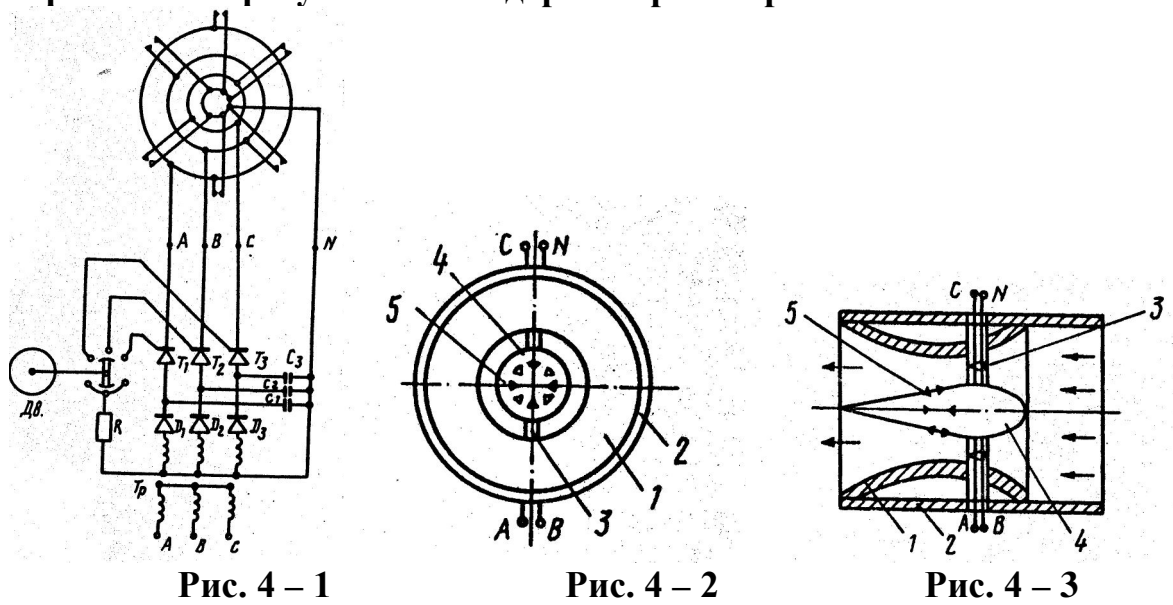
Изобретение предназначено для сообщения движения судам преимущественно подводного типа. На рис.3 – 1 показан общий вид движителя сбоку, на рис.3 – 2 показана схема монтажа разрядных электродов, а на рис. 3 – 3 приведена принципиальная электросхема движителя.

Движитель содержит обтекаемый корпус 1, на конической части которого в пробках 2 размещены электроразрядники 3 с выводами 4 , соединенные источником многофазного электрического c напряжения на борту Схема соединения разрядников судна. выполнена фазными парами с диаметрально противоположных сторон корпуса 1.

При включении электропитания на разрядники 3 между электродами через воду возникают электрические разряды, ударные волны которых одновременно с противоположных сторон корпуса 1 осуществляют давление на его коническую поверхность, создавая тягу по оси корпуса в течение всего времени электропитания.

3. Сопло ракетного двигателя по патенту № 2041376 РФ[9].

Изобретение предназначено для повышения тяги реактивных двигателей различных конструкций и может быть использовано в космонавтике и реактивной авиации с целью снижения расхода рабочего вещества, например, в условиях применения в качестве бортовых энергоустановок ядерных реакторов.



На рис. 4 – 1 показана принципиальная электросхема сопла, а на рис. 4 – 2 и рис. 4 - 3 соответственно поперечный и продольный разрезы сопла диаметральными плоскостями.

Сопло 1 сверхзвукового профиля размещено в корпусе 2, внутри сопла 1 на кронштейнах 3 обтекаемого сечения соосно укреплен отражатель 4 обтекаемого профиля основанием к выходу сопла 1. По кольцевому сечению отражателя 4 на его конической размещены электроразрядные пары электродов многофазной системы по две однофазных пары электродов с диаметрально противоположных сторон отражателя 4, которые соединены источником многофазного импульсного тока на тиристорах T_1, T_2, T_3 , в управления включен формирователь разрядов которых частотой (скважностью), например, с регулируемой помошью электродвигателя Дв. с коммутационной системой в цепи управления тиристоров.

При включении электропитания разрядников 5 на отражателе 4 между электродами фазных пар через рабочую среду реактивной струи осуществляются электрические разряды в заданной посредством управляемой двигателем Дв. скважности. В результате давления ударных волн от электрических разрядов одновременно с противоположных диаметрально сторон отражателя 4 возрастает тяга двигателя с соответствующим увеличением скорости истечения

реактивной струи из сопла 1.

5.Насос электрогидравлический по заявке № 4167272 /29 Роспатента [1]

Насос предназначен для создания напора в агрессивных рабочих средах, поэтому может быть использован в электрометаллургии алюминия, в энергетике для гидрозолоудаления и т.п.

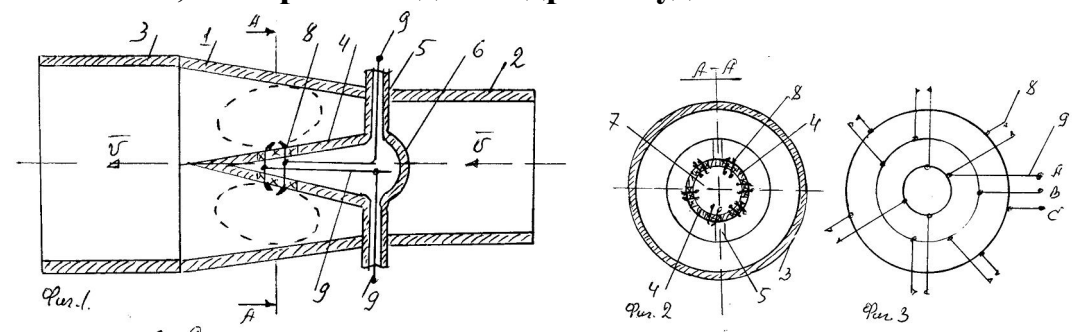


Рис. 5–1 (Фиг.1 с.41 по [1]) Рис. 5–2 (Фиг.2 с.41 по [1]) Рис. 5–3 (Фиг.3 с.41 по [1])

На рис. 5 – 1 показан продольный разрез насоса по его оси, на рис. 5 – 2 показан поперечный разрез отражателя по кольцевому сечению разрядников, а на рис. 5 – 3 приведена принципиальная электросхема насоса.

Насос состоит из конического корпуса 1 с входом 2 и выходом 3, размещен конический отражатель 4 на внутри которого соосно кронштейнах 5 обтекаемого сечения, снабженный сферическим основанием 6. Направления растворов конусов корпуса противоположными, образуя отражателя 4 выполнены рабочую поверхностями камеру между двумя коническими 1 4. Ha отражателе 4 электроизолирующих пробках 7 укреплены В электродов 8, соединенные электроразрядные фазные пары диаметрально противоположными парами к соответствующим фазам многофазного источника электропитания помошью электроизолированных проводов 9 в полостях кронштейнов 5.

При включении электропитания на разрядники 8 ударные волны от электрических разрядов через рабочую среду создают с противоположных сторон отражателя 4 общий фронт в направлении выхода из насоса, проталкивая рабочую среду вдоль канала насоса.

6.Электрогидравлический прожектор по заявке № 3884509 /25 Роспатента [1]

Изобретение представляет собой мощный излучатель акустических волн, генерируемых электрогидравлическими разрядами, поэтому оно может быть использовано для подводных разработок грунта, при расчистке фарватеров, взлома ледовых покровов и т.п. работ.

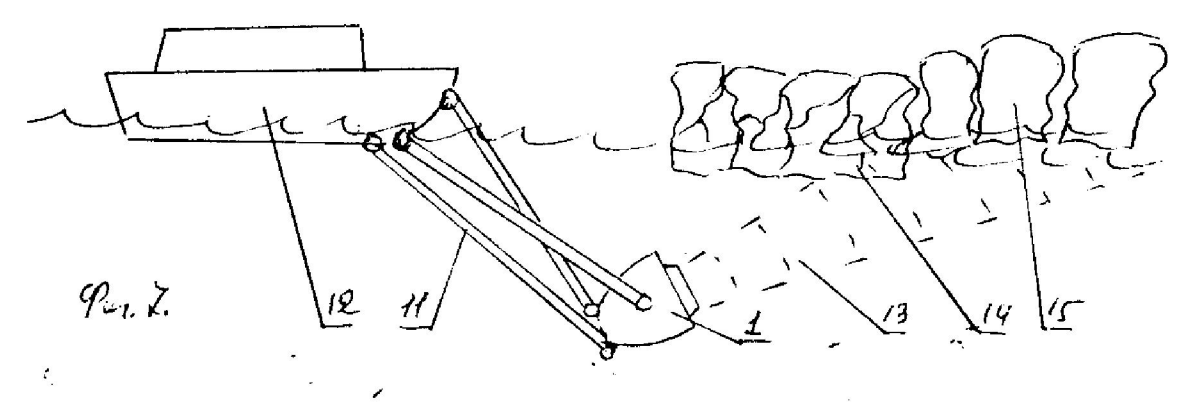


Рис. 6 - 1(Фиг.7 с.85 по [1])

На рис. 6-1 показан вариант схемы работы прожектора в качестве ледолома, на рис. 6-2, рис. 6-3 и рис. 6-4 соответственно показаны общий вид сбоку корпуса

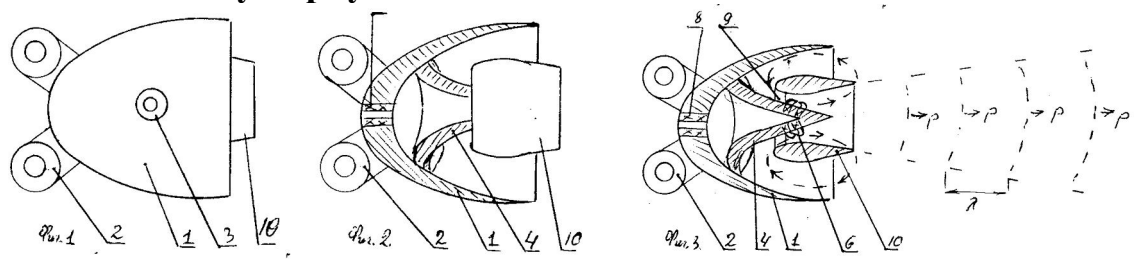


Рис. 6–2 (Фиг.1 с.85 по [1]) Рис. 6–3 (Фиг.2 с.85 по [1]) Рис. 6-4 (Фиг.7 с.85 по [1]) прожектора, разрез по оси прожектора (сопло на рис. 6-3 условно не разрезано) и схема образования луча ударных волн, на рис. 6 – 5 и рис. 6 – 6 показаны схема монтажа электродов на отражателе и внешний вид сбоку отражателя с электродами, а на рис. 6 – 7 принципиальная электросхема прожектора.

Прожектор состоит из корпуса — чаши 1 с проушинами 2 и цапфами 3. Внутри корпуса 1 соосно укреплены отражатель 4 конической формы с электроизорирующими пробками 5, в которых укреплены электроды 6 разрядных пар с выводами 7 через электроизолирующий канал 8 к источнику электропитания на борту судна.

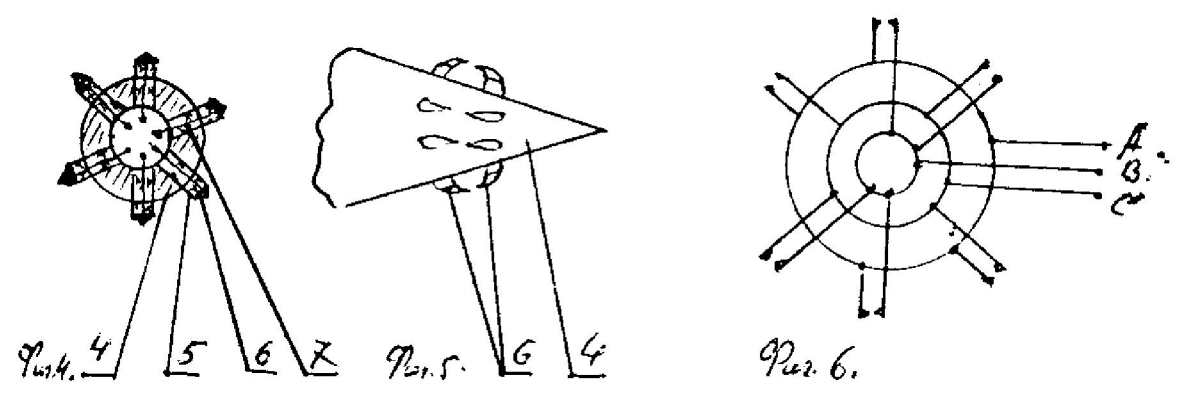


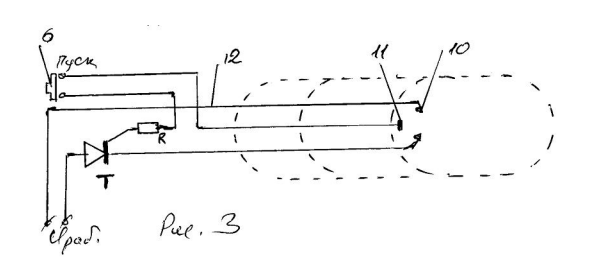
Рис. 6-5 (Фиг.4 с.85 по [1]) Рис. 6-6 (Фиг.5 с.85 по [1]) Рис. 6-7 (Фиг.6 с.85 по [1])

На отражателе 4 вокруг электродов 6 с помощью кронштейнов 9 укреплено сопло 10 со стенками обтекаемого сечения. С помощью

штанг 11 и гидропривода прожектор в сборе устанавливается по месту применения, например, на борту судна 12 и т.п.

электропитания на разрядники включении 6 В них осуществляются электрические разряды через воду, образуя ударные волны, которые в результате отражения от поверхностей отражателя 4 и сопла 10 образуют общий фронт в направлении раствора корпуса гидропотоки, циркулируя внутри сопла 10 и вне компенсируют друг друга. В результате прожектор создаёт акустический луч давления в направлении из раствора корпуса 1. 7.Электроразрядный пистолет по заявке № 92006414/28 Роспатента [10].

Изобретение относится к пневмоинструменту и предназначено для



обработки различных материалов, поэтому может оно использовано для выполнения отверстий В железобетонных изделиях, В горнорудных разработках, на дорожных работах и т. п. На рис. 7-1 показана

Рис. 7 - 1(Фиг.3 с.85 по [1]) принципиальная электросхема электроразрядного пистолета, на рис.7-2 и рис.7-3 соответственно показаны продольный разрез цилиндра и корпуса пистолета общий вид сбоку. Пистолет состоит из направляющего цилиндра 1 со штангами 2, снабженного рукоятками 3 и 4 манипулирования и с блоком 5 управления электропитанием, имеющего пусковую кнопку 6 на рукоятке 4. B цилиндре 1 размещен с полый баллон 7, внутри скольжения возможностью возвратно – поступательного скольжения размещен с возможностью снабженный электроизолирующей пробкой формирователем разрядов 11, соединенных разрядником 10 с управления электропитанием электроизолированными гибкими проводами 12 через электроизолирующую пробку 13 в стенке баллона 7 и пневмокамере 14 между поршнем 8 и стенкой баллона 7.

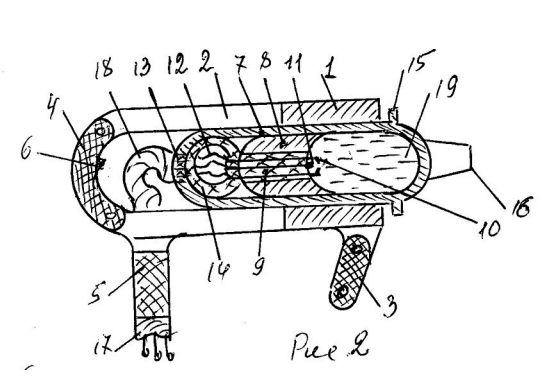


Рис. 7 – 2 (Рис.2 по [10])

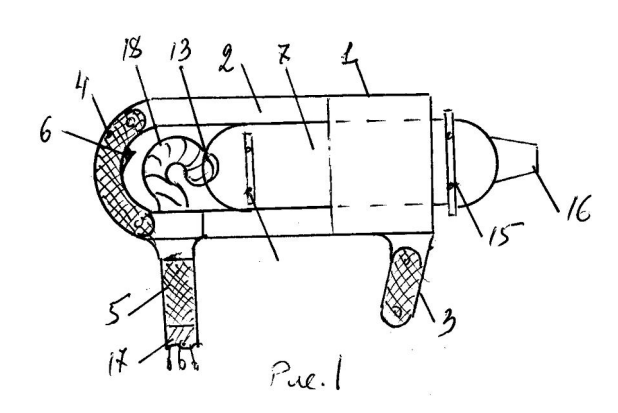


Рис. 7 – 3 (Рис.1 по [10])

На внешней поверхности баллона 7 размещены ограничители корпуса 7 выполнен конический полуколец, спереди держатель 16 рабочего инструмента. Резистор R и тиристор Т в схеме управления электропитанием пистолета соединены с источником типовым кабелем 17, петля 18 электропитания которого между 7 выполнена гибкой блоком 5 и баллоном из многожильных 11 проводов. Электрод формирователя разрядов последовательно с пусковой кнопкой 6 в цепь управления тиристора Т схемы управления электропитанием пистолета. Полость баллона 7 над поршнем 8 заполнена рабочей жидкостью.

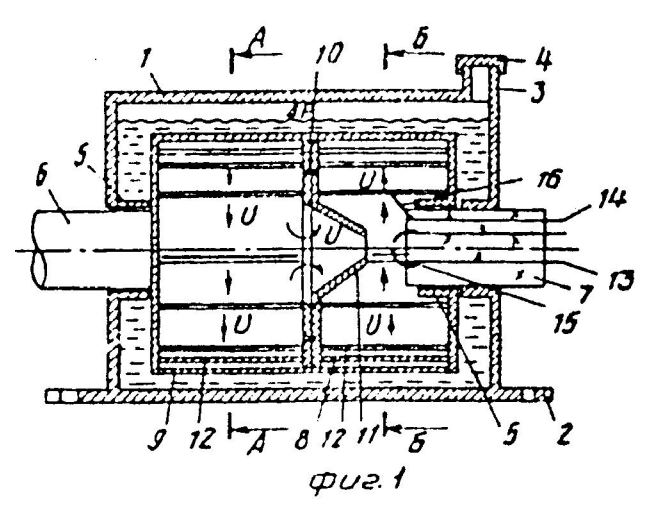
и 4 манипулирования С помощью рукояток 3 пистолет с рабочим инструментом на держателе 16 прижимают к обрабатываемой поверхности и нажимают пусковую кнопку 6, которая замыкает цепь **управления** тиристора T , открывая его для электропитания разрядника 10. После электрического разряда между электродами через рабочую жидкость вокруг электродов 10 паро-газовый пузырь электро-гидравлического эффекта, ударная волна которого по сферическому фронту раздвигает полость жидкости 19, отодвигая поршень 8 в противоположный край баллона 7, а сам баллон 7 при этом смещается вместе с рабочим инструментом на держателе 16 в обратном направлении. После расширения парогазового пузыря вокруг разрядника 10 до электрода 11 формирователя разрядов цепь управления тиристора Т прерывается, тиристор запирается и при схлопывании паро-газового пузыря поршень 8 и возвращаются в первоначальные положения. фазы ЭГЭ снова замыкает 19 после завершения **управления** через электрод 11 формирователя разрядов, то при замкнутой кнопке 6 процесс работы повторяется автоматически.

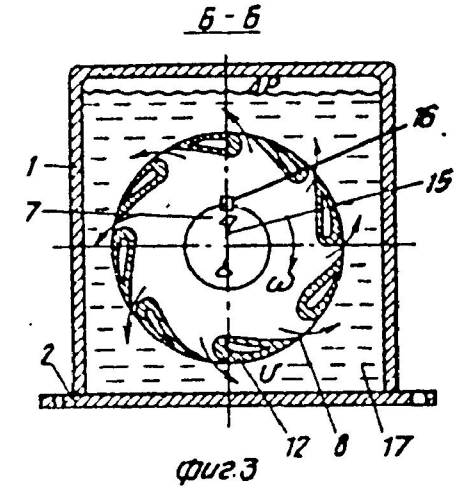
Так как при смещении поршня 8 и баллона 7 центр масс пистолета остаётся неподвижным, то колебания баллона 7 с рабочим инструментом на держателе 16 не

передаются направляющему циоиндру 1 с рукоятками 3 и 4 манипулирования, обеспечивая вибробезопасность пистолета.

8.Пневмо–электрогидравлический двигатель по патенту № 2027064 РФ[11]

Двигатель является немагнитной электромашиной и поэтому может быть использован в электроприводах машин и механизмов в различных отраслях техники, позволяя улучшать общие массовогабаритные показатели установок.





υροδ.

Рис. 8-1 (Фиг.1 по [11]) Рис. 8-21 (Фиг.3 по [11]) На рис. 8-1, рис. 8-2 и рис. 8-3 показаны соответственно продольный разрез по оси двигателя и сечения по A-A и по B-B рис. B-A показана его принципиальная электросхема.

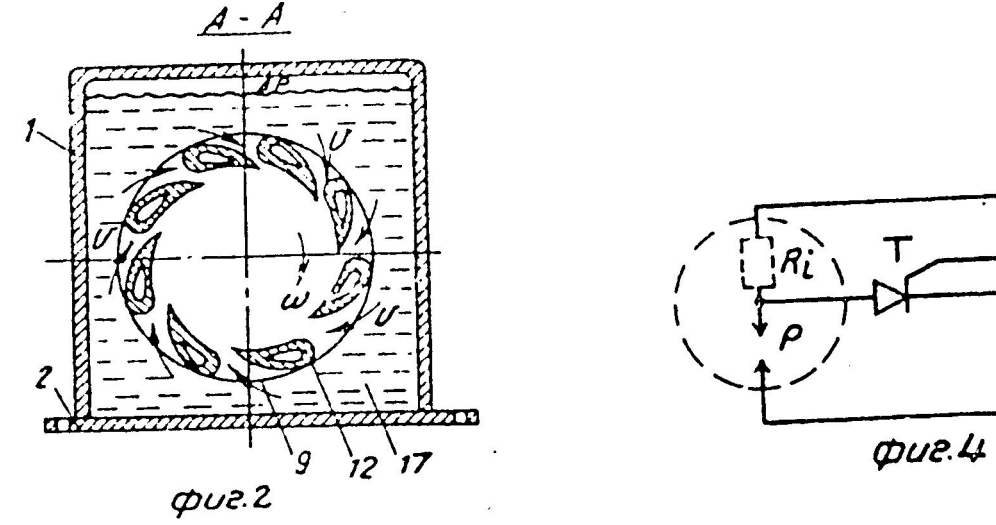


Рис. 8 – 3 (Фиг.2 по [11]) Рис. 8 – 4 (Фиг.4 по [11])

Двигатель состоит из корпуса 1 в виде емкости на основании 2 и патрубка 3 с крышкой 4. В корпусе 1 в подшипниках 5 скольжения с гидравлическим уплотнеиием на валу 6 и электроизолирующей пробе 7 размещен ротор из рабочей 8 и вспомогательной 9 ступеней, соединенных между собой заклёпками 10 и коническим соплом 11 в ступени 8. Лопасти 12 ступеней 8 и 9 имеют обтекаемый профиль и ориентированы в противоположных направлениях. Через пробку 7 с выводами 13 и 14 разрядник 15 с формирователем 16 разрядов подключен к источнику электропитания в виде типового генератора импульсного тока. Полость корпуса 1 заполнена рабочей жидкостью 17 с образованием над поверхностью жидкости 17 воздушной подушки.

При включении электропитания формирователь 16 разрядов открывает цепь электропитания разрядника 15, ударная волна вокруг которого вытесняет рабочую жидкость через сопло 11 из ступени 9

в ступень 8 и через сопла-щели между лопастями 12 в ступень 9 из ступени 8, создавая лопастями 12 реактивный момент вращения ротора на валу 6, с которого отбирается мощность на исполнительный механизм.

Так как после фазы схлопывания ЭГЭ рабочая жидкость снова заполняет полость ступеней 8 и 9, замыкая через себя цепь формирователя 16 разрядов, то рабочий цикл по описанному повторяется автоматически в течение всего времени электропитания двигателя.

Таким образом, описанные выше примеры, число которых можно увеличивать по конкретным техническим заданиям, изобретений с использованием ЭГЭ достаточно убедительно показывают высокую эффективность этого нового конструктивного решения.

Литература:

- 1.Вертинский П.А. II. Электрогидравлика, г. Усолье-Сибирское, 1996, 144 с.
- 2.Вертинский П.А. Повышение эффективности электрогидравлических систем с использованием кумулятивного электрогидравлического эффекта // Сб. матер. V «Сибресурс-2002», Иркутск, ИГЭА, 2002,стр.49.
- 3.Вертинский П.А. Электрогидравлическая трубопроводная магистраль с отрицательным гидравлическим сопротивлением как принципиальная техническая основа решений природоохранных задач//Сб. мат.VI «Сибресурс-2003», Иркутск, БГУЭП, 2003, стр. 296-307.
- 4.Вертинский П.А. Возможные пути обеспечения экологической безопасности технологий в электрометаллургии алюминия // Сб. матер. VI «Сибресурс-2003», Иркутск, БГУЭП, 2003, стр. 273-282.
- 5.Вертинский П.А. Экологические проблемы энергетики и перспективы их решений // ж.. «Механизация строительства» № 3 / 2004, стр.17 22.
- 6. Вертинский П. А. Способ разрушения ледяного покрова // Патент № 1600204 РФ, БИ № 2/ 1995
- 7. Вертинский П.А. Электроискровой плуг // Патент № 1428225 РФ, БИ № 37/ 1988
- 8. Вертинский П.А. Электрогидравлический судовой движитель//Патент №1213645 РФ, БИ № 2/ 1995
- 9.Вертинский П.А. Сопло ракетного двигателя // Патент № 2041376 РФ,БИ № 22/ 1995.
- 10.Вертинский П.А. Электроразрядный пистолет по заявке № 92006414/28 Роспатента /ИЛ № 36/93, ЦНТИ, г. Иркутск, 1993.
- 11.Вертинский П.А. Пневмо электрогидравлический двигатель // Патент № 2027064 РФ, БИ № 2/ 1995

04. ЭЛЕКТРОГИДРАВЛИЧЕСКАЯ ТРУБОПРОВОДНАЯ МАГИСТРАЛЬ С ОТРИПАТЕЛЬНЫМ ГИЛРАВЛИЧЕСКИМ СОПРОТИВЛЕНИЕМ КАК ПРИНЦИПИАЛЬНАЯ ТЕХНИЧЕСКАЯ ОСНОВА РЕШЕНИЙ ПРИРОДООХРАННЫХ ЗАДАЧ

І.Вступление.

Автору уже пришлось в прошлом году на этой конференции «Сибресурс-2002» доказывать теорему о фронте ударной кумулятивного характера, но здесь необходимо снова привести ее формулировку:

Суперпозиция ударных волн в среде путем включения очередного источника в момент прохождения через него фронта ударной волны от предыдущего источника образует результирующий фронт волны кумулятивного характера. /1/

I -1.Электрогидравлические насосы.

В качестве практического приложения этой теоремы здесь рассмотрим серию электрогидравлических насосов /2/, так как все они могут быть представлены одной и той же принципиальной изображенной рис.І-1. B электросхемой, сущности такая принципиальная электросхема электропитания c блоком

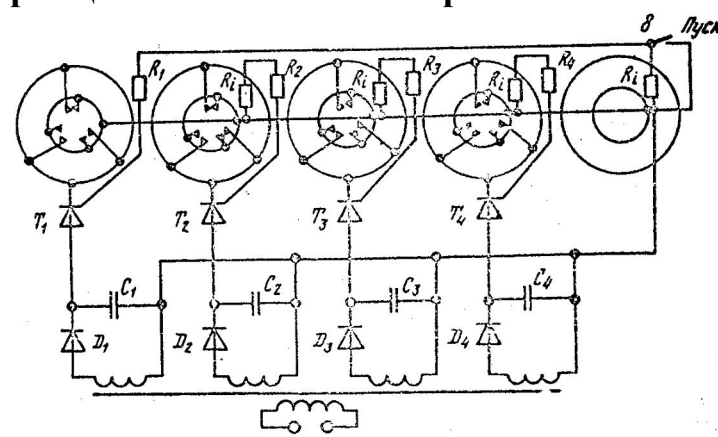


Рис.І-1 Принципиальная электросхема электрогидравлического насоса

Hacoc

рис.І-6 /2/.

представляет собой генератор импульсного тока c раздельными батареями конденсаторов ДЛЯ разрядников. Конструктивно такая электросхема может быть выполнена как показано рис.І-2 и рис.І-3, а некоторые возможные

показаны на рис.І-4, рис.І-5 корпус 1, блок электропитания, разрядные устройства 2, размещенные в электроизолирующих пробках по три равномерно по круговым сечениям корпуса 1. Формирователи

формирователи разрядов

в виде тензорезисторов могут быть выполнены разрядов полупроводникового типа с выводами 4 через пробку разрядника 2, либо в виде пъезоэлектрического датчика, размещенного аналогично, либо в виде проводникогового стержня 3 в пробке разрядника 2.

содержит

корпус 1, блок электропитания, разрядные содержит устройства 2, размещенные в электроизолирующих пробках по три по круговым сечениям корпуса 1. Формирователи равномерно разрядов могут быть выполнены в виде тензорезисторов

полупроводникового типа с выводами 4 через пробку разрядника 2, датчика, размещенного аналогично. либо в виде пъезоэлектрического либо в виде проводникогового стержня 3 в пробке разрядника 2.

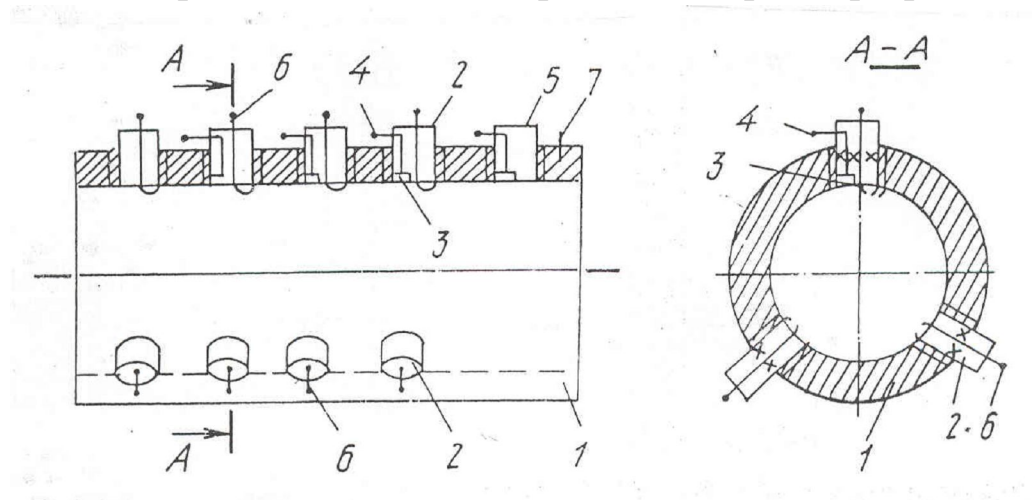
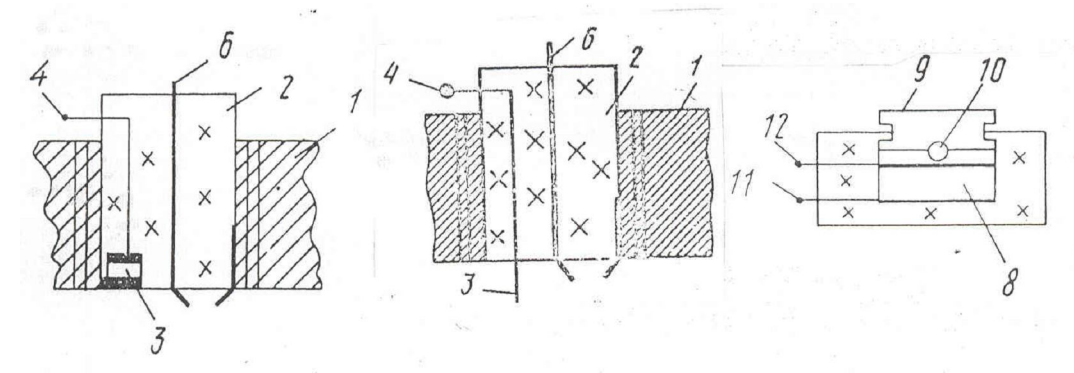


Рис.І-2. Продольный вид корпуса радиальными выреза плоскостями (Фиг.1 по источнику 3)

Рис.І-3. Поперечный насоса разрез корпуса насоса (Фиг.2 по источнику 3)



формирователя разрядов тензорезисторного типа (Фиг.3 по источнику 3)

Рис.І-4 Продольный разрез Рис.І-5. Продольный разрез Рис.І 6.Поперечный формирователя разрядов электролитического типа (Фиг.4 по источнику 3)

разрез пускового формирователя (Фиг.5 по источнику 3)

Hacoc содержит корпус 1, блок электропитания, разрядные устройства 2, размещенные в электроизолирующих пробках по три сечениям корпуса 1. Формирователи равномерно по круговым виде тензорезисторов разрядов могут быть выполнены полупроводникового типа с выводами 4 через пробку разрядника 2, либо в виде пъезоэлектрического датчика, размещенного аналогично, либо в виде проводникогового стержня 3 в пробке разрядника 2.

Формирователь 3 разрядов любого типа для первой группы разрядников 2 размещен на отдельном держателе 5 после последней группы разрядников 2 на расстоянии, не менее радиуса корпуса 1. Все разрядники 2 имеют выводы 6 от одного из электродов пары,

а вторым выводом служит металл корпуса 1 с общим выводом 7. В случае возможного исполнения корпуса 1 из диэлектрика каждый разрядник 2 имеет свой вывод, соединенный с клеммой 7. Пусковой формирователь 8 разрядов в виде тензорезистора или пьезоэлектрика с клавишей 9 и шариком 10 имеет выводы 11 и 12, соединенные параллельно первому формирователю 3 разрядов.

При включении электропитания на разрядники 2 ударные волны распространяются вдоль канала насоса, своим давлением по фронту воздействуют на формирователи 3 разрядов очередных разрядников 2, включая их в моменты прохождения фронта ударной волны через них, поддерживая таким образом работу насоса на протяжении всего периода работы схемы электропитания.

П.Трубопроводная магистраль

с отрицательным гидравлическим сопротивлением.

Из описания устройства и работы электрогидравлических насосов ясно, что между собой насосы этой серии конструктивно отличаются лишь исполнением формирователей разрядов, которые могут быть тензорезисторными (рис.І-4), пьезоэлектрическими или электролитическими (рис.І-5).

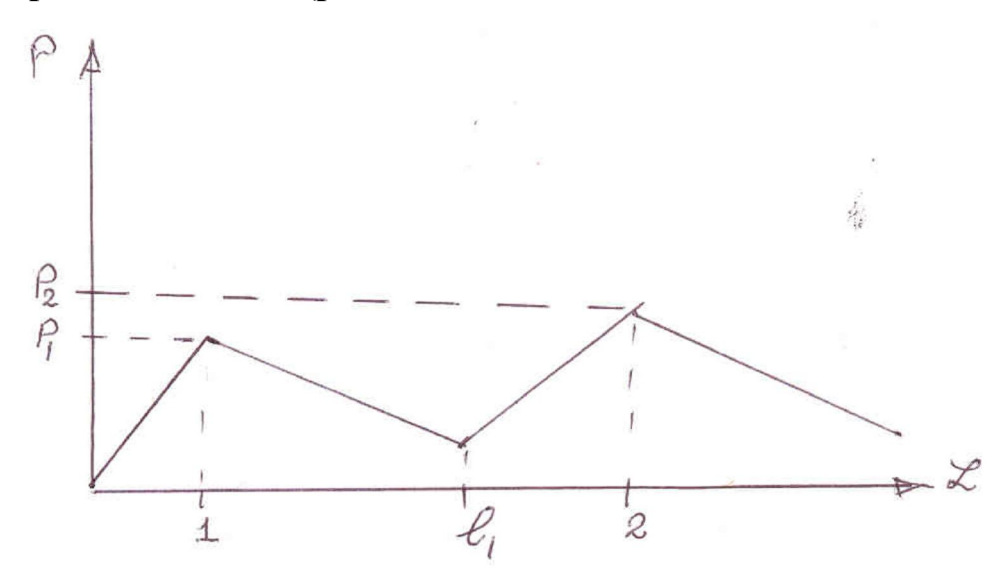
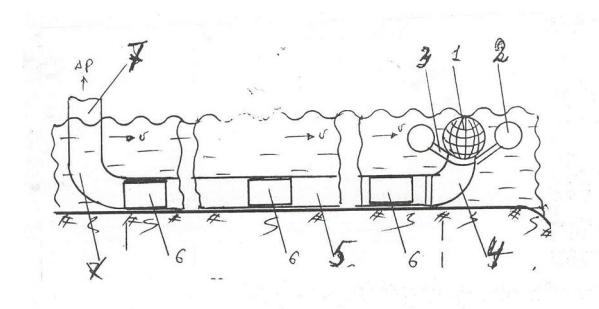


Рис.ІІ-1.Диаграмма давления в трубопроводной магистрали, содержащей серию ЭГН.

Независимо от конструктивного исполнения /3/, /4/, /5/ формирователей разрядов, которое сказывается на эксплуатационных характеристиках насосов, определяя производительность, напор и др. параметры, все насосы данной серии являются трубопроводами с отрицательным гидравлическим сопротивлением. Более того, если представить себе последовательную серию таких насосов, соединенных между собой

отрезками труб, то при выполнении условия, чтобы: $P_2 \succ P_1$ (1), можно получить сколь угодно длинную трубопроводную магистраль с отрицательным гидравлическим сопротивлением, как это следует из рис.II-1. Действительно, так как на графике давление P_1 и P_2 в магистрали на участках 1 и 2 соответствуют работе двух соседних насосов, когда второй ЭГН включен в магистраль последовательно первому ЭГН на таком расстоянии от него, чтобы давление на входе второго ЭГН было больше нуля, то в результате на выходе второго



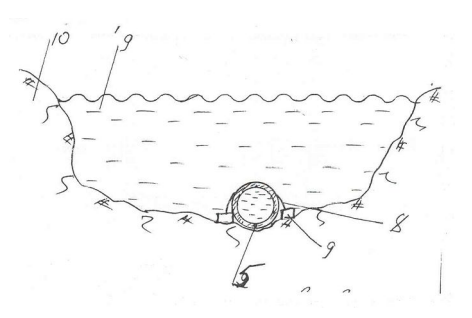


Рис.II-2. Схема размещения трубопровода с Ри включенными последовательно ЭГН. сеч ЭГН давление будет удовлетворять условию (1).

Рис.II-3. Вретикальное сечение рис.II-2.

Реализацию такой магистрали можно представить в виде водозаборной установки, показанной на рис.II-2. и рис.II-3.

Такая установка /2/ содержит сетчатый оголовок 1 с поплавками 2 на кронштейнах 3 и гибкий трубопровод 4 ниже уровня воды в водоеме, соединенный с водоводом 5 по дну водоема. В водоводе 5 через заданные интервалы размещены ЭГН - 6 с общим электропитанием по электрическому кабелю , проложенному параллельно водоводу. (Кабель на рисунках не показан.) Вывод 7 установки выполнен по месту назначения в виде туннеля или колодца . Закрепление водовода 5 на дне водоема выполнено с пощью хомутов 8 с якорями 9, например, башмачного типа и т.п. /2/.

III.Электрогидравлический канал по патенту РФ № 2027076 / 6/.

Природоохранное назначение описанной выше водозаборной установки как примера трубопроводной магистрали с отрицательным гидравлическим сопротивлением сомнений, не вызывает производительность установки ограничена сечением водовода. Этого ограничения можно избежать, если в качестве самой магистрали использовать русло реки, течение которого может быть ускорено или ЭГН открытой конструкции, c помощью представлена на рис.ІІІ-1, рис.ІІІ-2 и рис.ІІІ-3. Насос /6/ состоит из с бортами днищем 2 волнообразного профиля, 1 И поверхность которого образована поперечными потоку канавками углублениями 3,

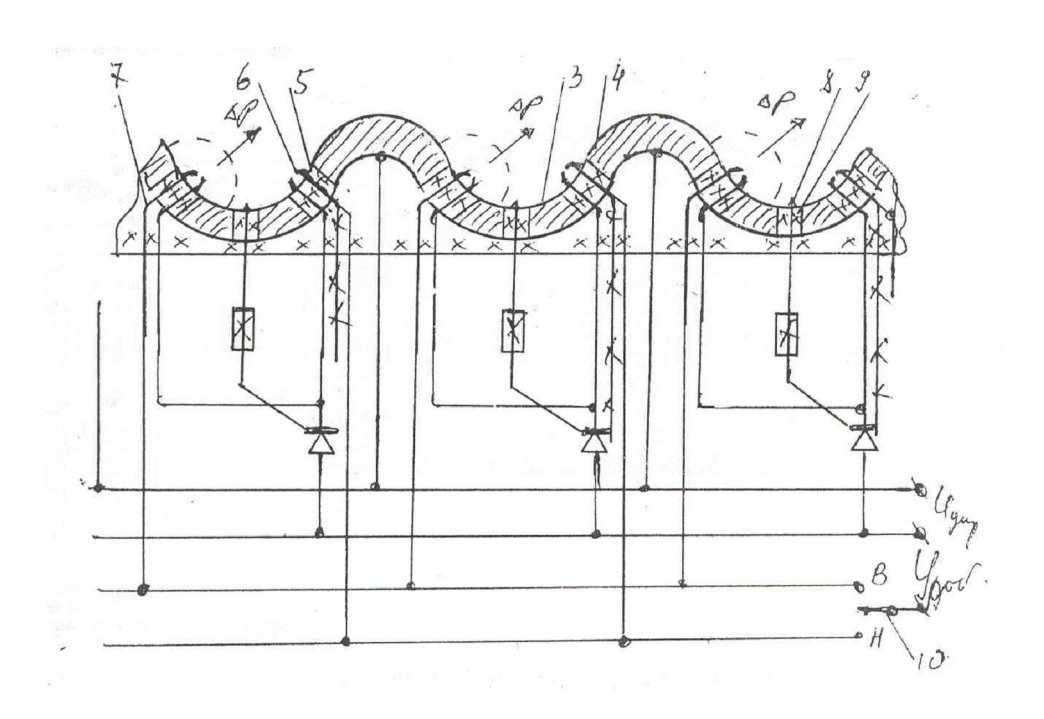


Рис.ІІІ-1. Вертикальный разрез сверху со схемой электропитания. (Фиг. 1 по [6])

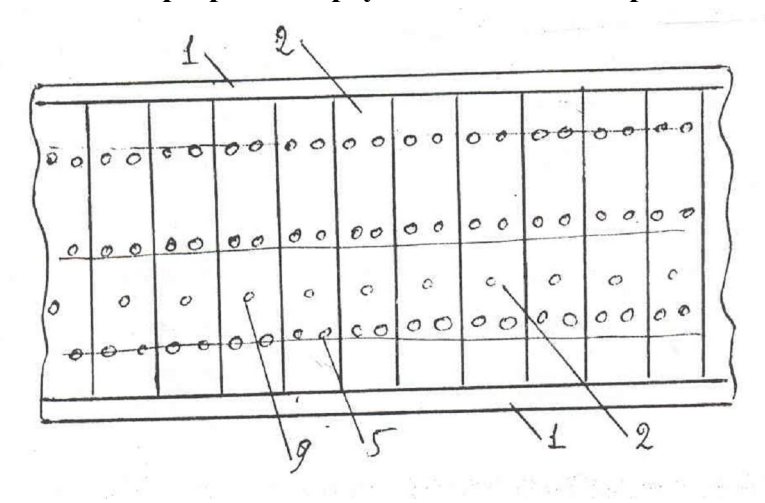


Рис.ІІІ-2. Вид днища насоса сверху. (Фиг.2 по [6])

на боковых склонах 4 которых в пробках 5 размещены разрядники 6 с выводами 7 через днище 2 к сети электропитания, выполненной на тиристорах, в цепь управления которых включены формирователи 8 разрядов в виде стержней, размещенных в пробках 9 на дне

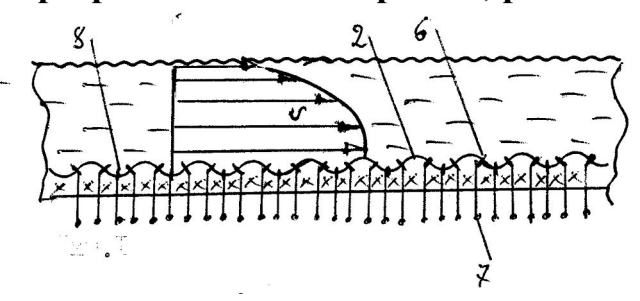


Рис.III-3.Годограф скорости потока по сечению канала. (Фиг.3 по источнику 6)

углублений 3. Переключатель 10 рядов разрядников определяет направление потока, включая в работу разрядники с заданной стороны углублений 3. При включении напряжения электропитания в заданном

положении переключателя 10 формирователи 8 разрядов замыкают цепь управления тиристорной схемы электропитания разрядников 6, ударные волны вокруг которых выбрасывают рабочую среду в заданном направлении по ходу потока в течение всего периода электропитания.

IV.Мобильная трубопроводная магистраль.

Описанный выше открытый электрогидравлический канал патенту РФ №2027076 онжом представить себе в качестве дополнительного водосброса в период паводков на площади бассейна переполненной реки, но этот же принцип образования гидропотока использовать В трубопроводной возможно И магистраль с отрицательным Действительно, если трубопроводная гидравлическим сопротивлением, описанная ранее по п.И , может функционировать лишь в погружном режиме, то есть при наполнении канала ЭГН по всему сечению, когда формирователи разрядов могут сечения включать все разрядники канала насоса, то электрогидравлического канала открытого возможна без этого ограничения.

IV-1.Электроразрядный реверсивный насос по заявке № 93055246 /2/.

Представим себе канал трубы, как это показано на рис.IV-1 и рис.IV-2, электросхему на рис.IV-3. Этот а принципиальную электроразрядный насос состоит из трубчатого многоступенчатого корпуса 1, внутри которого размещены ступени парных отражателей 2 конической формы, соединенных в паре наибольшими растворами конических корпусов. На отражателях 2 размещены электроразрядных электродов 3 в виде колец с выводами пробки 5 к схеме электропитания. По стыкам больших растворов конических отражателей 2 размещены в пробках 6 формирователи 7 разрядов в виде стержней с выводами 8 к схеме электропитания. На концах корпуса 1 выполнены штуцеры 9. По стыкам ступеней запасные отверстия под пробки 5 закрыты заглушками 10. Как ясно из пинципиальной электросхемы, формирователи 7 разрядов

переключателем 11 направления гидропотока. При включении электропитания ударные волны от электроразрядов, распространяясь в заданном направлении от отражателей 2, перемещают рабочую среду по направлению в соответствии с положением переключателя 11. По заявке № 93055246 / 29 автором получено решение Роспатента о выдаче патента РФ на изобретение под названием «электроразрядный реверсивный насос»

включены в цепь управления тиристорной схемы электропитания с

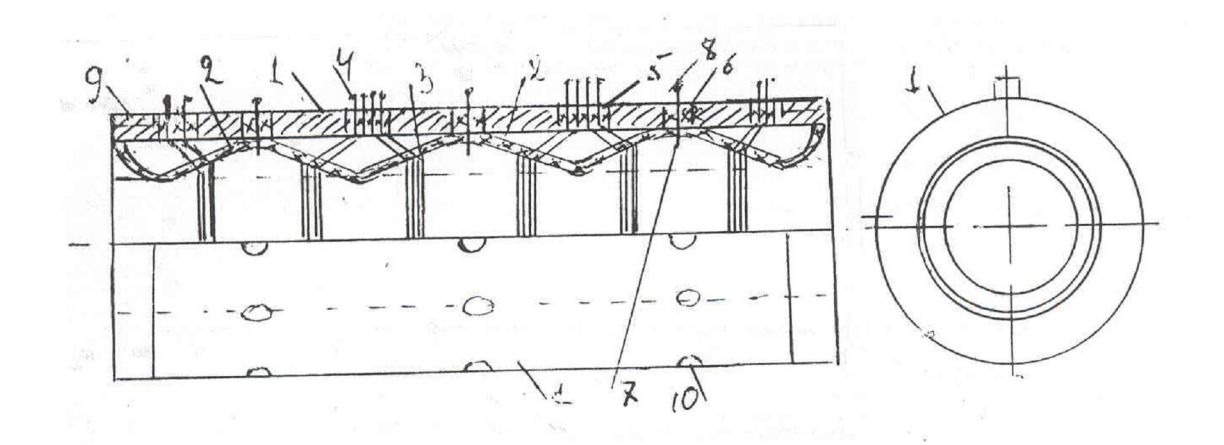


Рис.IV-1. Вид сбоку реверсивного насоса с? Рис.IV-2.Вид с торца рис. IV-1. выреза радиальными плоскостями

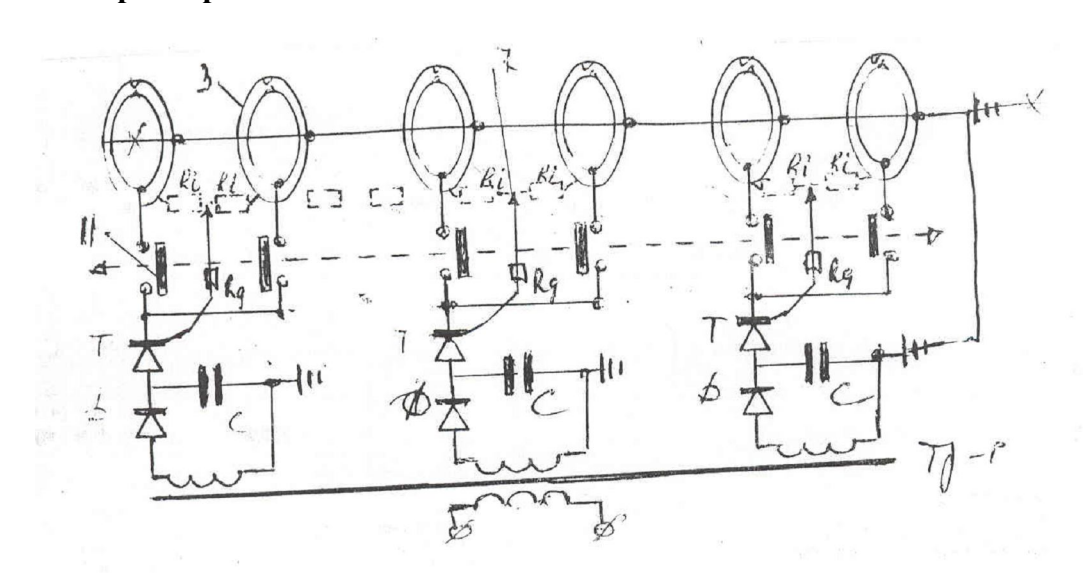
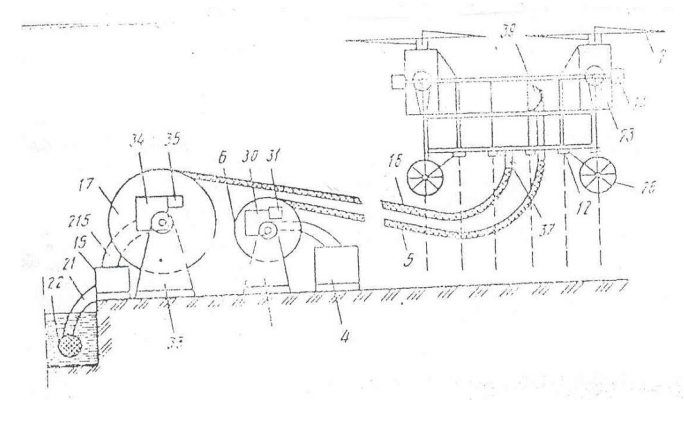


Рис.IV-3.Принципиальная электросхема реверсивного электроразрядного насоса,

Таким образом, как ясно из описания работы такого реверсивного электроразрядного насоса, конструктивное исполнение разрядников в виде колец на конических отражателях позволяет не изменение направления потока рабочей среды, только осуществить устойчивую работу насоса и обеспечивает при частичном канала рабочей средой. Другими трубопроводная магистраль, включающая в себя последовательную серию подобных ЭГН, будет не только обладать отрицательным гидравлическим сопротивлением, сможет работать, будучи но и проложенной по поверхности земли, например, в виде гибкого шланга, применения В свою очередь, возможность гибких шлангов для трубопроводных магистралей с отрицательным гидравлическим сопротивлением открывает широкие перспективы для решения различных природоохранных задач.

IV-2. Аэродинамические дождевальные установки.

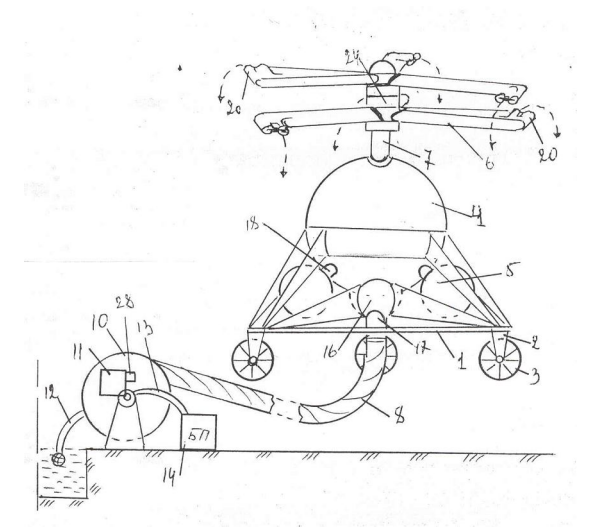
Для иллюстрации практического использования трубопроводной магистрали с отрицательным гидравлическим сопротивлением в виде мобильной трубопроводной магистрали здесь можно привести



примеры дождевальных установок по патентам РФ № 1769401 No 2063122. рис.IV-4 показанных на рис.IV-5. Оба эти изобретения оросительной К относятся технике и предназначеныдля заданой **дождевания** C предотвращает высоты, что повреждения механические

Рис.IV-4.Вид сбоку дождевальной повреждения грунту и по патенту РФ №1769401 по возделываемой культуре.Кроме того, принцип работы аэродинамических дождевателей открывает возможность их пррименения для пожаролтушения лесов, степей,

торфяных болот и других возгораний.



Как видно на рисунках, установки установки по лождевателя 2063122 патенту РФ№ содержат снабженные специальные фермы, аэродинамическим движителями электромагнитным (по патенту РФ 1769401 или (по патенту РФ электрореактивным № 2063122) приводами. На фермах размещеныемкости водой, помощью гибкихшлангов соединенные

Рис.IV-5.Вид сбоку дождевальной водозаборными станциями. Установки по патенту № 2063122 Отличия указанными между дождевателями заключается принципе работы не только В электропривода аэродинамического движителя, конструктивном гибких шлангов - водоводов исполнении по патенту РФ № 1769401 применены электрокабелей. Если раздельные конструктивные элементы: гибкий шланг электрокабель на отдельных барабанах, то по патенту РФ № 2063122 эти конструктивные элементы совмещены на общем барабане, устройство которого показано на рис.IV-6.

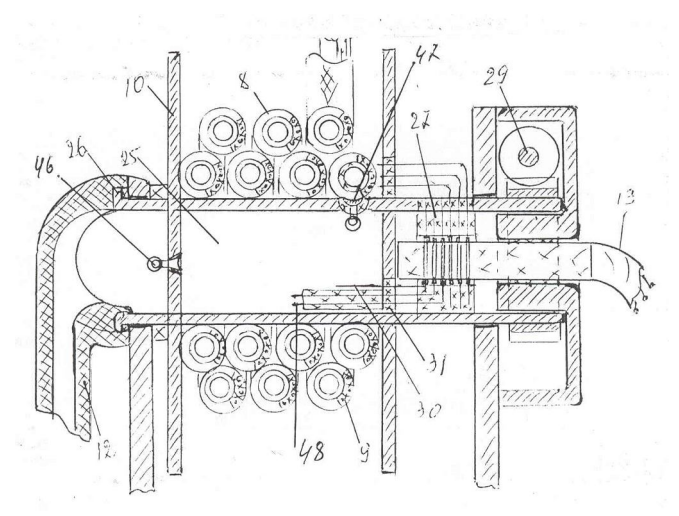


Рис.IV-6.Разрез диаметральной плоскостью барабана с гибким шлангом-кабелем по патенту РФ № 2063122.(Фиг.5 по источнику 8)

Как видно из рис.IV-6, жилы электрокабеля размещены шланга, диэлектрический материал которого одновременно служит и жилами. Не повторяя электроизоляцией между здесь подробного описания **устройства** работы дождевателей. указанных необходимо заметить, что возможность их использования значительных расстояниях **0T** водоемов полностью определяется массовогабаритными показателями барабанов со шлангами-ЭТИХ кабелями. При этом ясно, что простое **у**величение **ДЛИНЫ** шлангов даже путем последовательного соединения шлангов нескольких барабанах не обеспечит нам увеличения действия дождевателей, та какгидравлическое сопротивление подобной магистрали пропорционально ее длине. Представим себе теперь, что шлангом-кабелем промежуточные барабаны co содержат в себе электроразрядные реверсивные насосы, описанные выше по п.IV-1. Тогда все наши барабаны с такими гибкими шлангами – кабелями станут электрогидравлическими трубопроводными магистралями с отрицательным гидравлическим сопротивлением, позволяя нам увеличивать радиус действия аэродинамических дождевателей до любых значений. Исполнение таких барабанов со шлангами-кабелями в виде транспортабельных установок, например, на автомобилях и др. позволит оперативно прокладывать трубопроводные магистрали дождевателей на любом расстоянии от водоемов.

образом, рассмотренные выше примеры применения электрогидравлических насосов различных конструкций позволяет нам обоснованно заключить, что это новое поколение насосного способно обеспечить оборудования решение многих технических задач, направленных на охрану окружающей природной среды.

Литература:

- 1.Вертинский П.А.Повышение эффективности электрогидравлических систем с использованием кумулятивного электрогидравлического эффекта.// Материалы V рег.конф. «Сибресурс-2002», ИГЭА, Иркутск, 2002 г., стр. 49.
- 2.Вертинский П.А. Электрогидравлика. г.Усолье-Сибирское, 1996 г.144с.
- 3.Вертинский П.А.Электрогидравлический насос // Патент РФ№ 1770614, БИ № 39 / 92.
- 4.Вертинский П.А. Электрогидравлический насос // Патент РФ № 1824504, БИ № 24 / 93.
- 5.Вертинский П.А. Электрогидравлический насос // Патент РФ № 1830430, БИ № 28 / 93.
- 6.Вертинский П.А. Электрогидравлический насос // Патент РФ № 2027076, БИ № 02 / 95.
- 7.Вертинский П.А. Дождевальная установка // Патент РФ № 1769401, БИ № 02 / 95.
- 8.Вертинский П.А. Дождевальная установка // Патент РФ № 2063122, БИ № 19 / 96.

НАУЧНОЕ ИЗДАНИЕ

Вертинский Павел Алексеевич

Печатается в авторской редакции

Подписано в печать 20.07.2008. Формат 60 x 84 / 16. Бумага офсетная. Печать офсетная. Усл. печ. л. 5,0. Уч.-изд. л. 5,25. Тираж 100 экз. Зак. 32к.

Отпечатано в типографии Иркутского государственного технического университета 664074, Иркутск, ул. Лермонгова, 83